



دانشگاه علوم پزشکی و خدمات
بهداشتی درمانی تهران



کاربردهای پزشکی نانوذرات مغناطیسی

رضا احمدی

اردیبهشت ۹۲

- معرفی Ferrofluid ها
- روش‌های تولید
- خواص

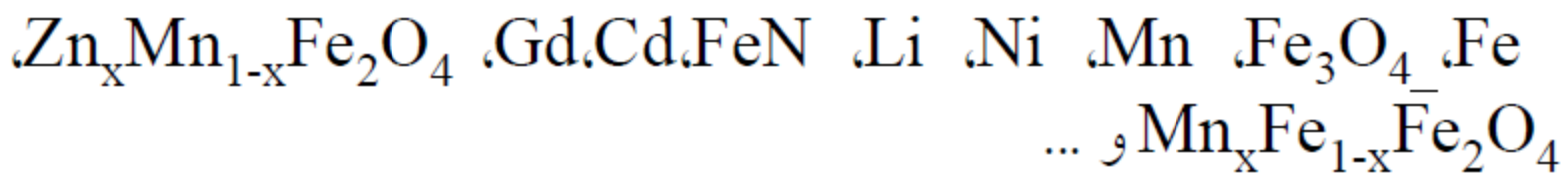
کاربردها در:

- داروسانی
- هایپرترمیا
- تصویربرداری MRI

محلول های مغناطیسی (Ferrofluids)

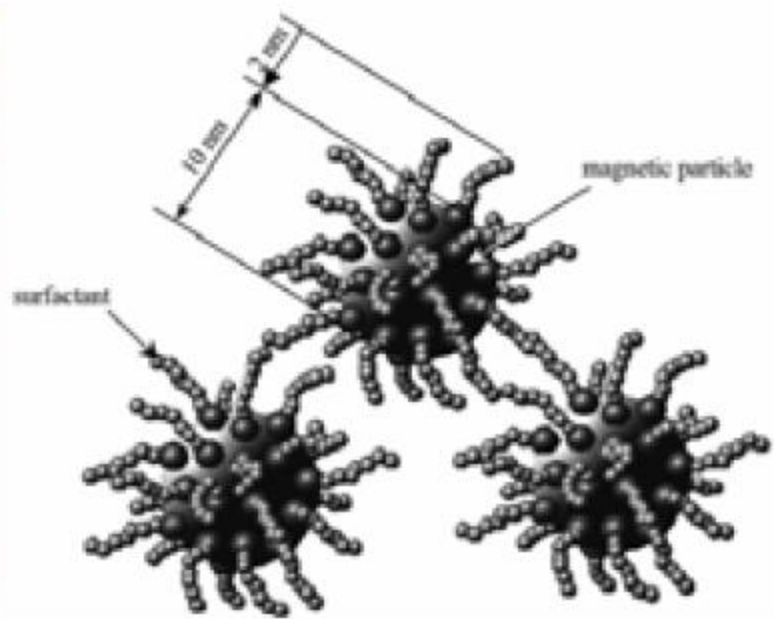
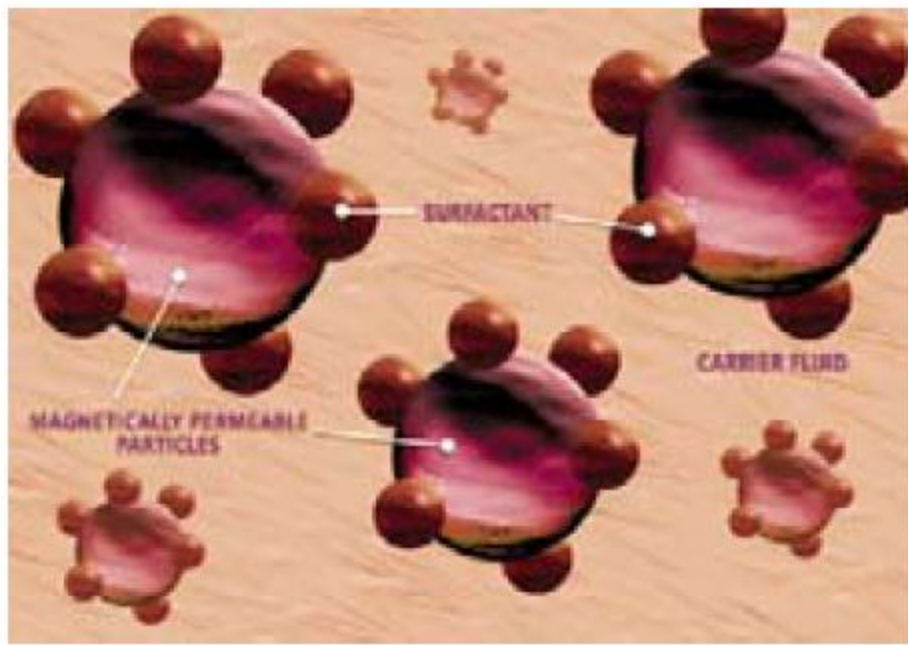
- ساختار محلول های مغناطیسی:

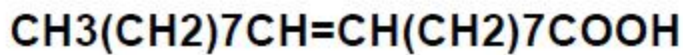
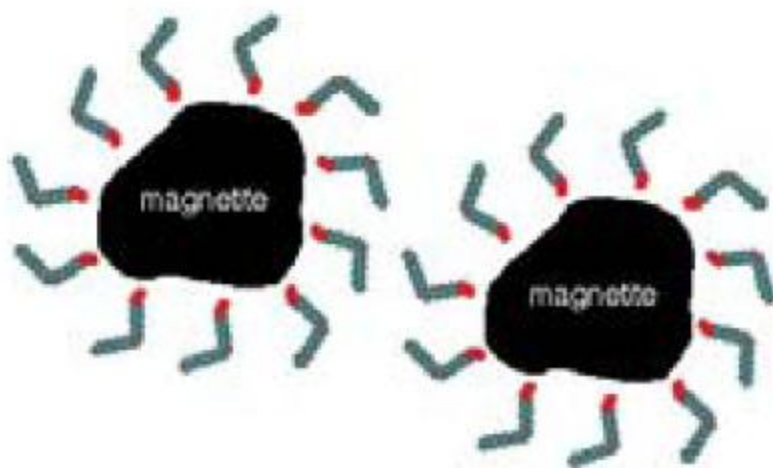
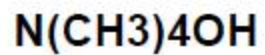
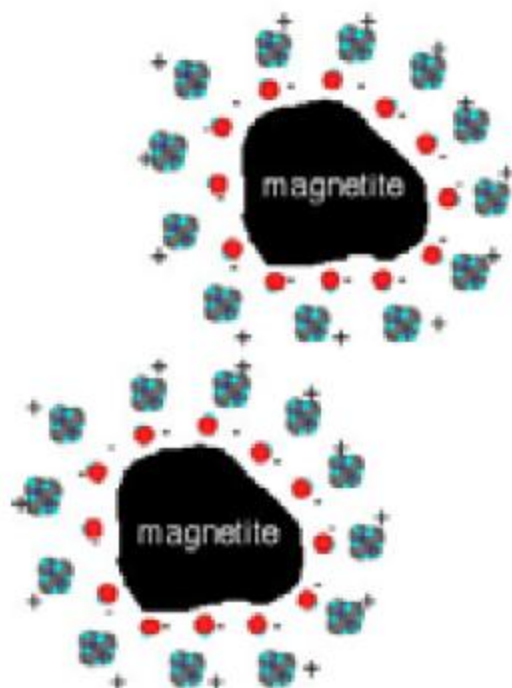
۱- نانوذرات سوپرپارامغناطیس از جنس ماده فرو یا فری مغناطیس:



۲- محلول واسطه: آب، روغن، استرها، الکل ها، جیوه و ...

۳- لایه surfactant: گلیسیرین، تترامتیل آمونیوم هیدروکسید، PVA، اسید اولئیک و ...





روش های تولید

- روش هم رسوبی: واکنش نمک های دو و سه ظرفیتی آهن در حضور عامل قلیایی:

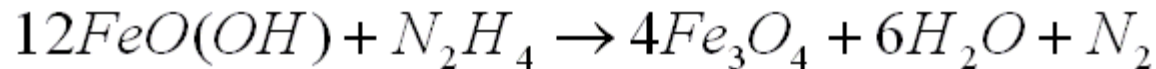
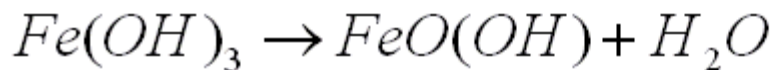
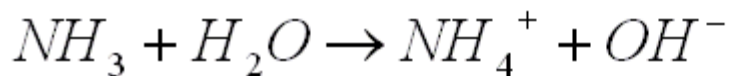
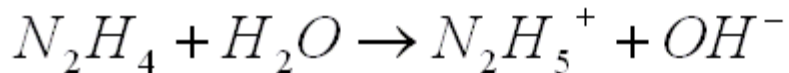
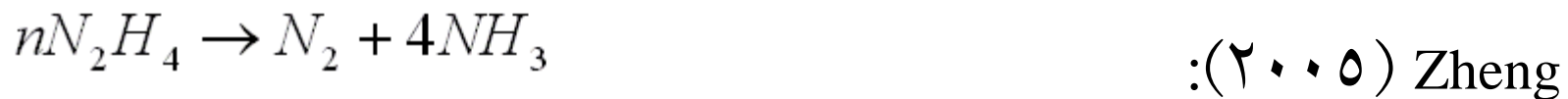


واکنش ناخواسته:

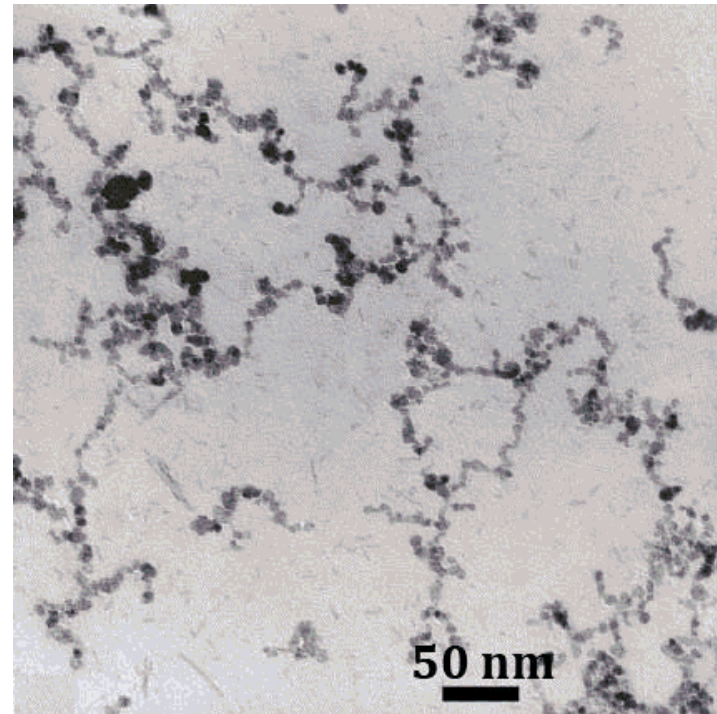
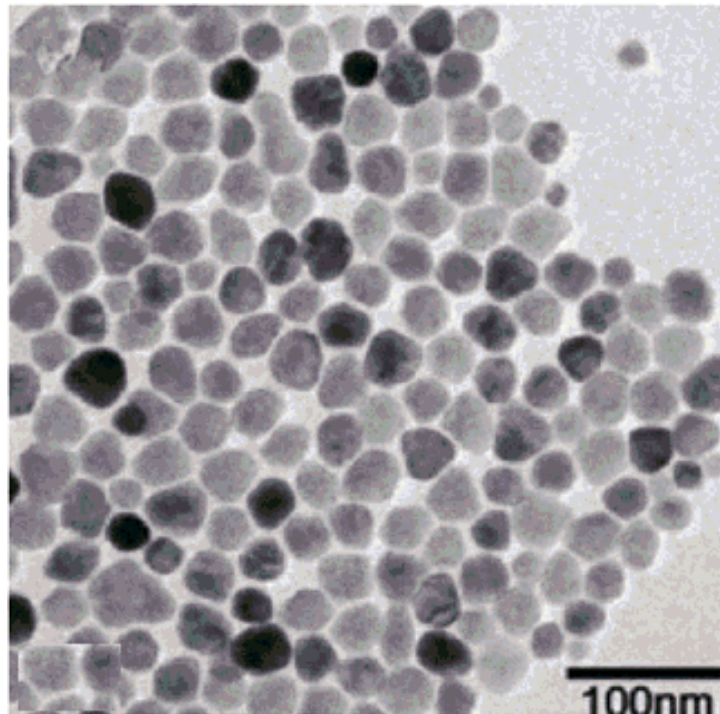


- استفاده از سورفکتانت و دمش گاز خنثی

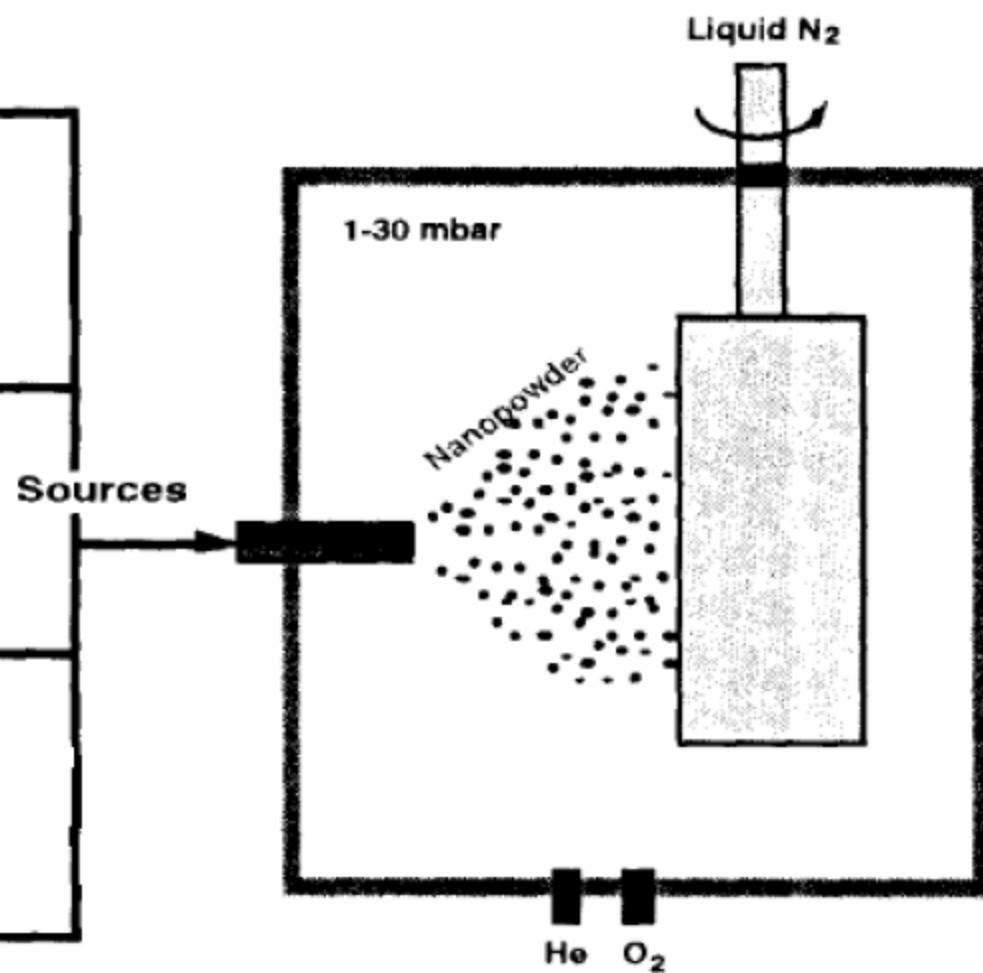
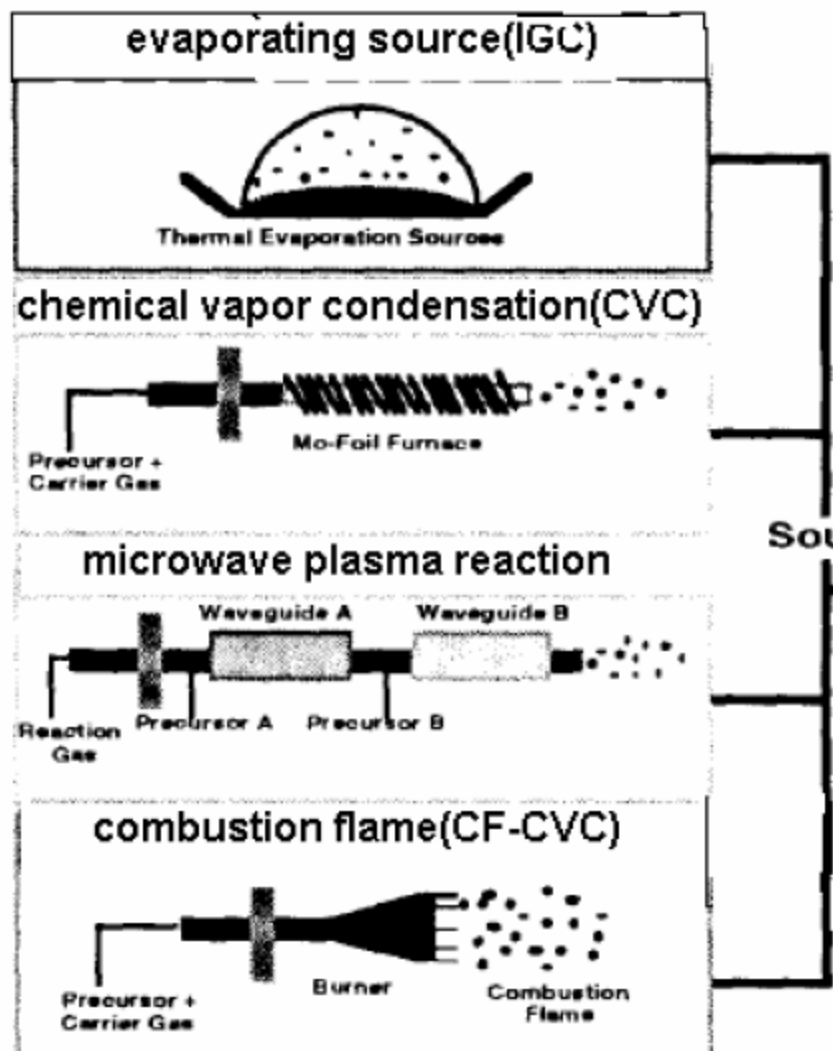
- روش هیدروترمال: تشکیل نانوذرات مگنتیت در دما و فشار بالا

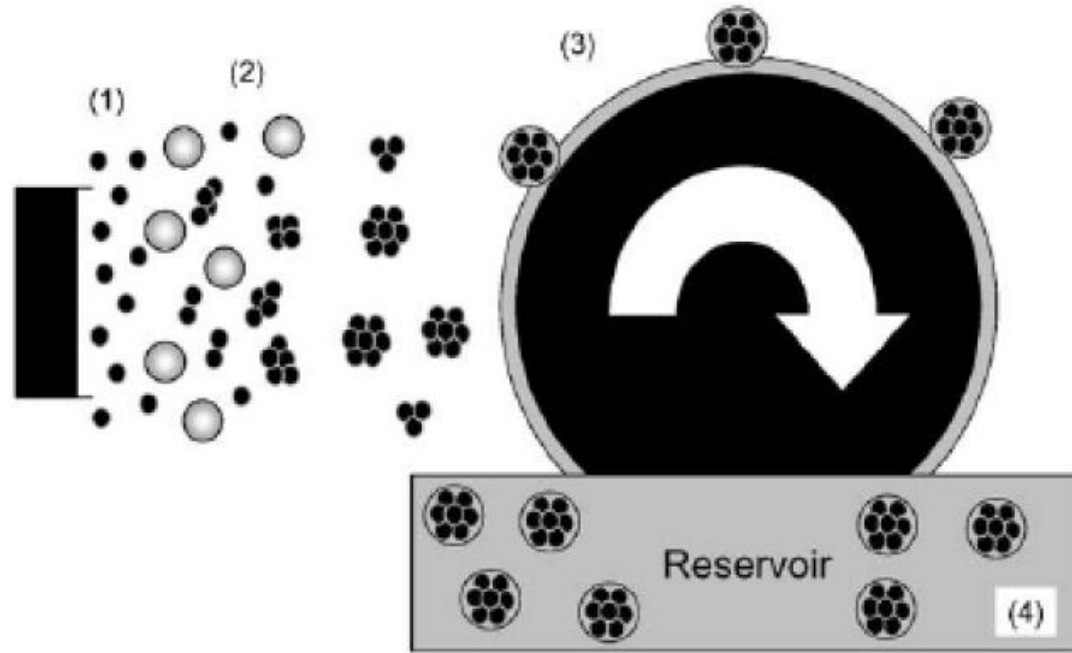


- Gu (۲۰۱۰): سنتز نانوذرات مگنتیت در حضور اسید اولئیک با استفاده از اکسیدکننده DMSO و عامل قلیایی TMAH
- زمان طولانی فرآیند
- کترل بیشتر بر روی اندازه ذرات و توزیع یکنواخت اندازه ذره
- تکرارپذیری فرآیند



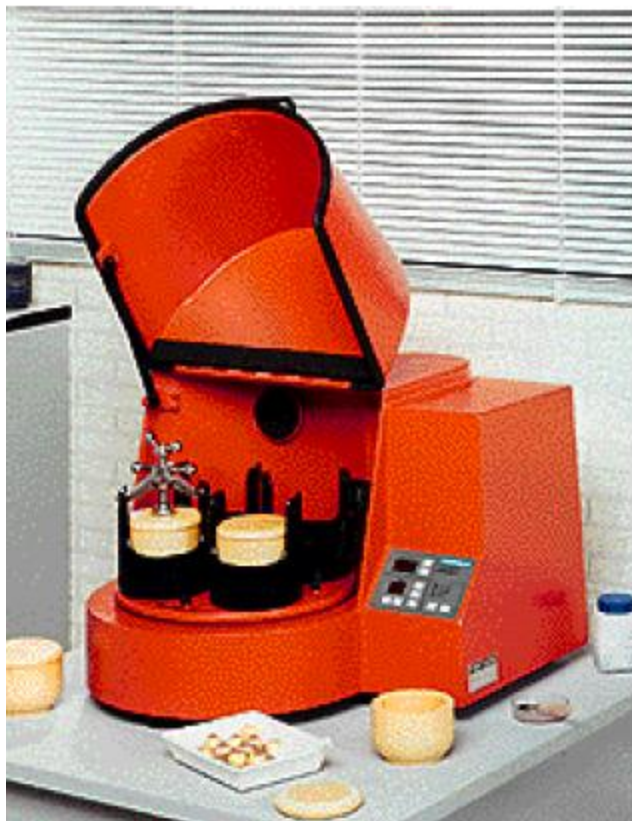
ستز از فاز بخار





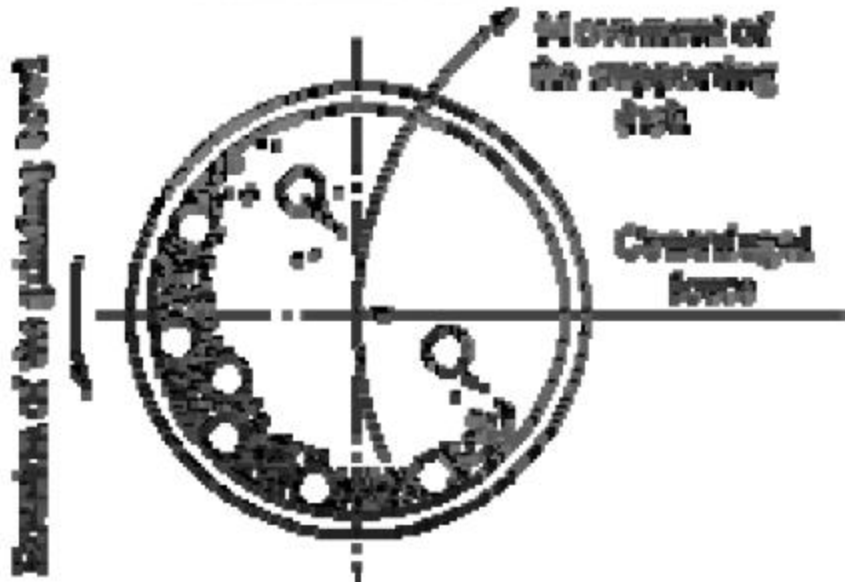
- سنتز تک مرحله ای محلول مغناطیسی برای کاربرد MRI

- سنتز از فاز جامد: آسیاب کردن
 - زمان های طولانی (۵۰۰ تا ۱۰۰۰ ساعت)
 - مواد اولیه ترد
 - محدودیت در کاهش ابعاد

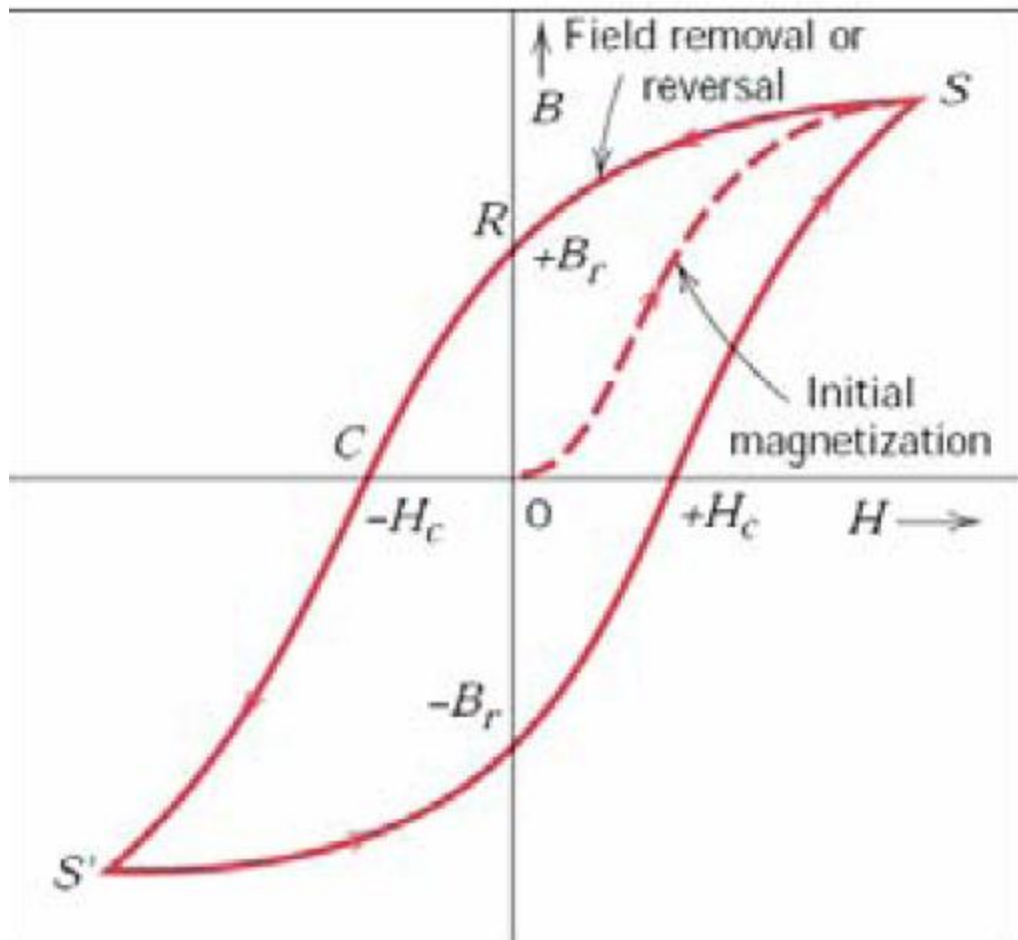


- انجام فرآیند در حضور سورفکتانت و محلول مناسب (مانند کروزن)

Horizontal section

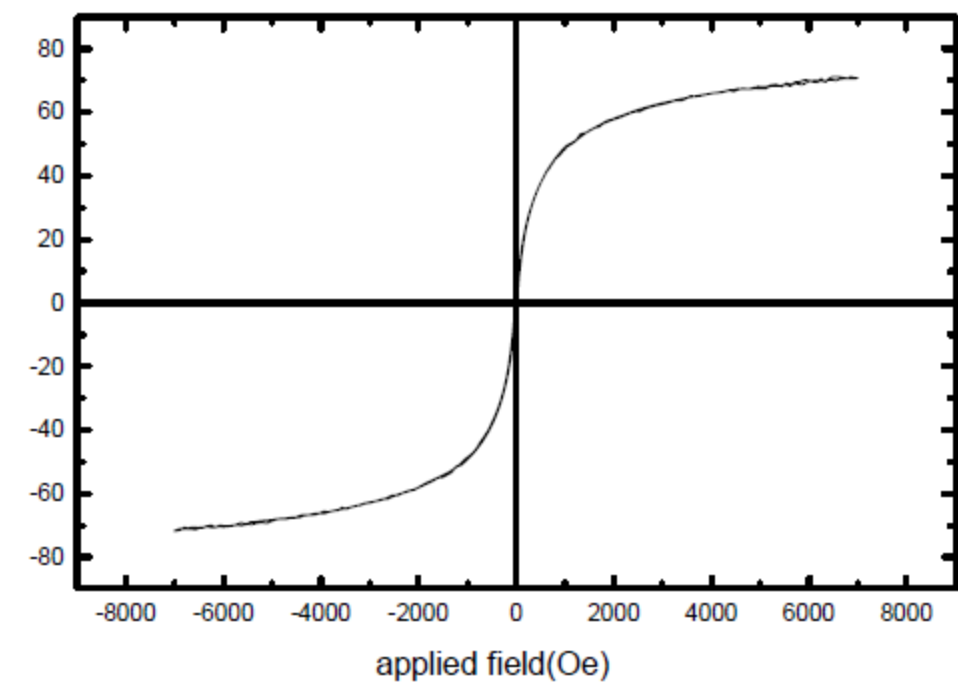
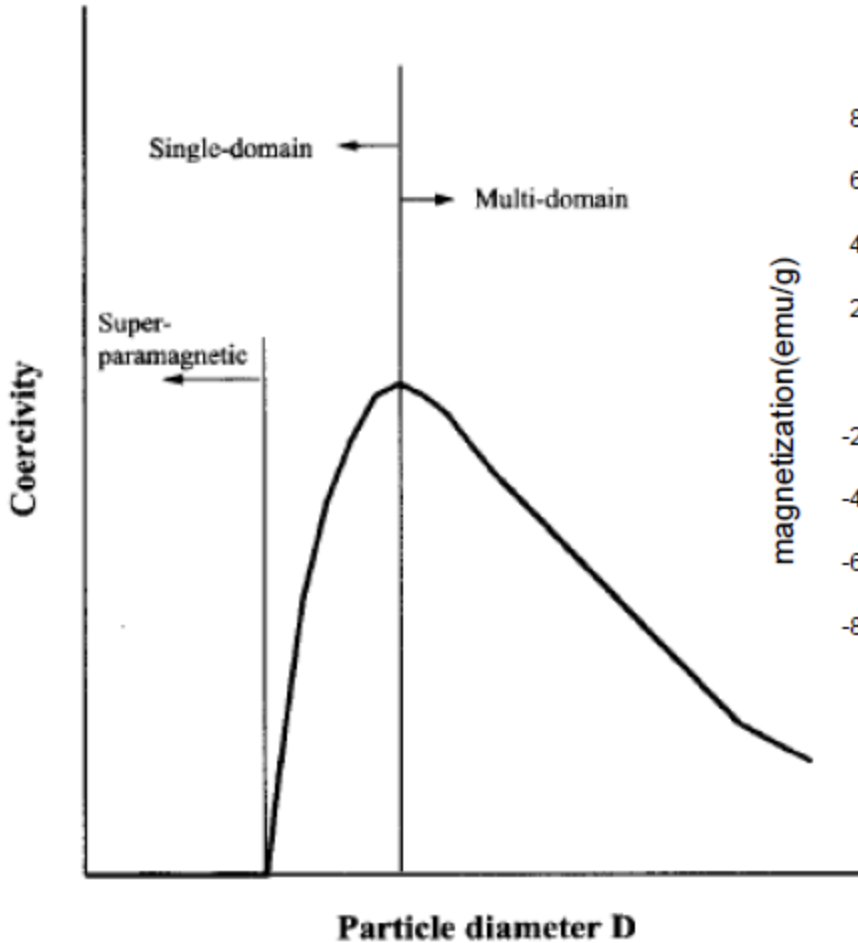


- خواص مغناطیسی:
- مواد پارامغناطیس
- مواد فرو و فری مغناطیس
- مواد دیامغناطیس
- دمای کوری
- حوزه مغناطیسی
- M-H منحنی



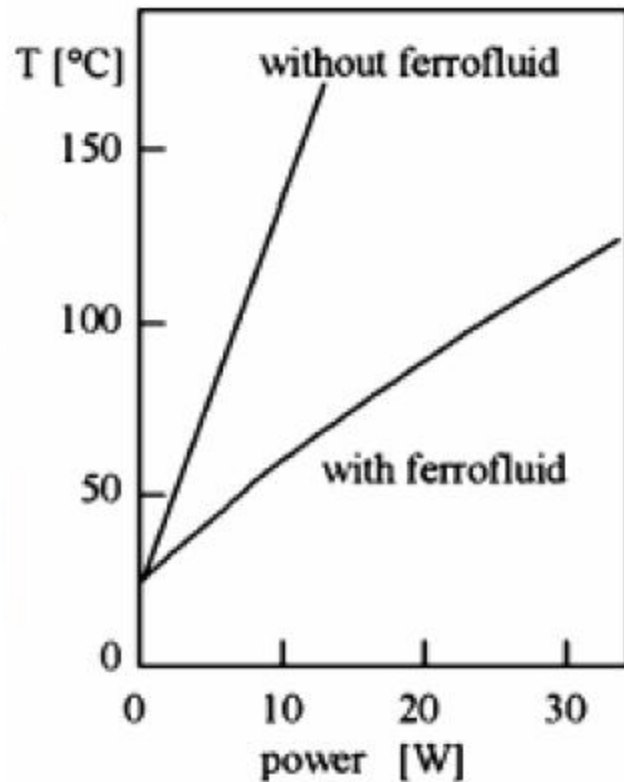
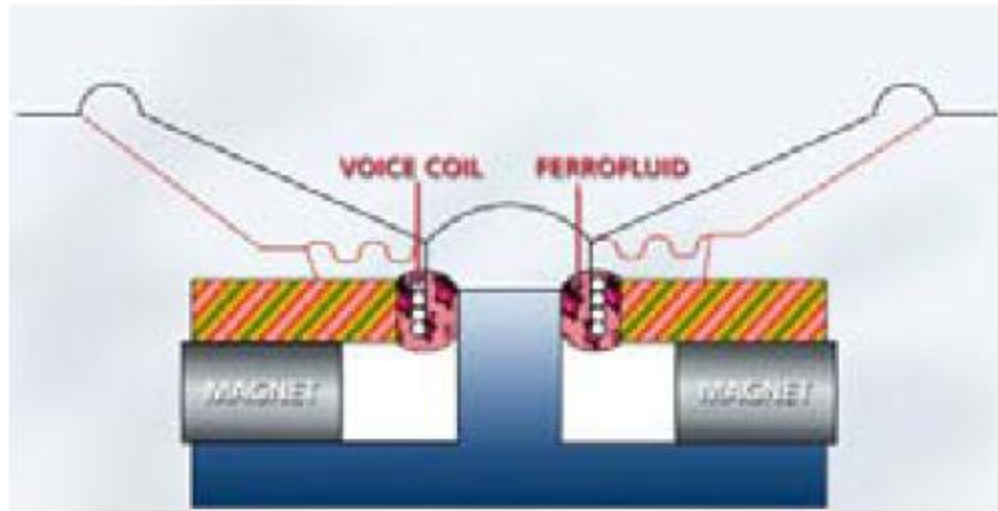
- با کاهش اندازه ذره و افزایش بی نظمی های ساختاری در سطح، پدیده مرگ مغناطیسی (Magnetically dead) رخ می دهد و دمای کوری و مغناطش اشباع افت پیدا می کند. ضخامت این لایه حدود 5 nm است.
- ذره تک حوزه: در مواد فرو و فری مغناطیس با کاهش اندازه ذره تا یک حد بحرانی تشکیل حوزه های مغناطیسی از نظر انرژی غیر مرجح است و ذره در نقش یک حوزه منفرد مغناطیسی عمل می کند. اندازه بحرانی ذره تک حوزه برای مواد مختلف متفاوت است و از حدود 14 nm برای آهن خالص تا حدود 170 nm برای $\gamma\text{-Fe}_2\text{O}_3$ تغییر می کند.

- پدیده سوپرپارامغناطیس: با کاهش اندازه ذره فرو یا فری مغناطیس زیر حد خاصی انرژی حرارتی ذره $k_B T$ قابل مقایسه با انرژی مغناطیسی KV شده و ذرات مغناطش پایدار نخواهند داشت. این حد بحرانی برای Fe_3O_4 حدود ۱۱ nm است.

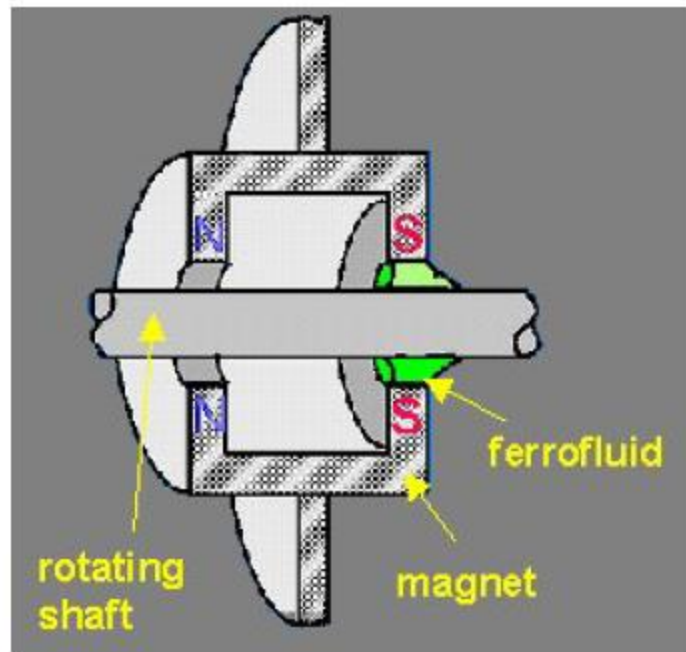


کاربردهای ferrofluid

۱- افزایش هدایت حرارتی در سیستم های الکتریکی مانند میکروفون ها ، تلفن همراه ، بلندگو ها و ...



۲- تجهیزات خلا

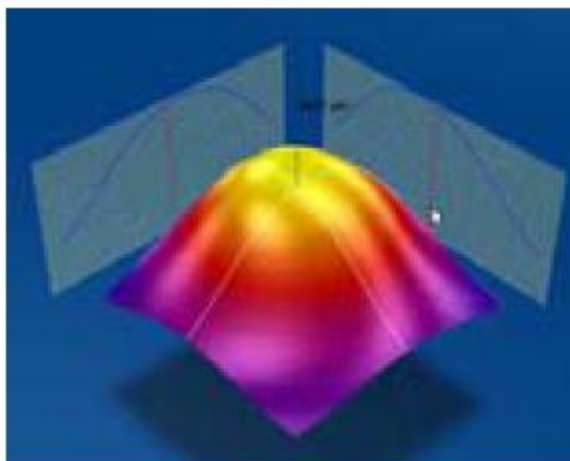
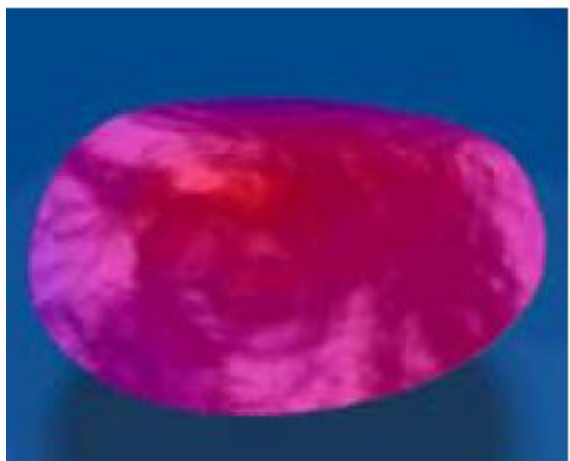


۳- روانسازها

۴- جداسازی و بازیافت مواد

۵- لیتوگرافی

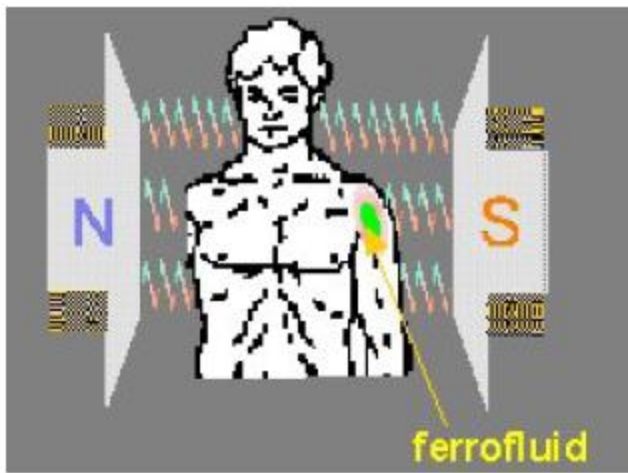
۶- آینه های انعطاف پذیر



-۸- مشاهده حوزه های مغناطیسی (اندازه ذرات ۵ تا ۱۰ نانومتر، M_s حدود ۸۰ گوس، ویسکوزیته کمتر از ۵ سانتی پویس)



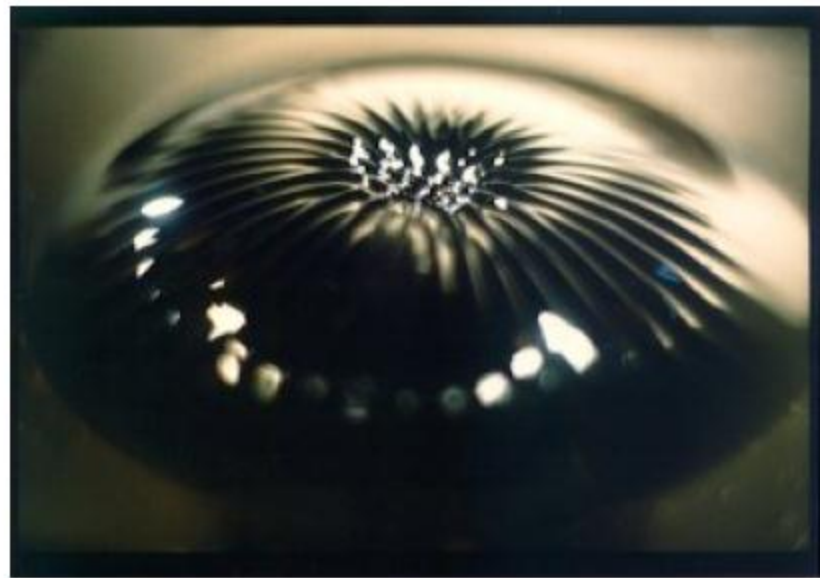
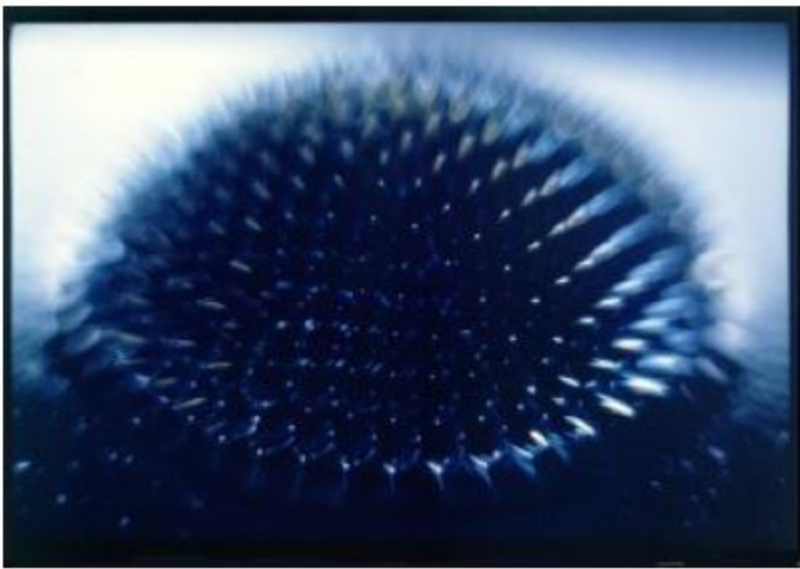
-۷- کاربردهای پزشکی و دارویی



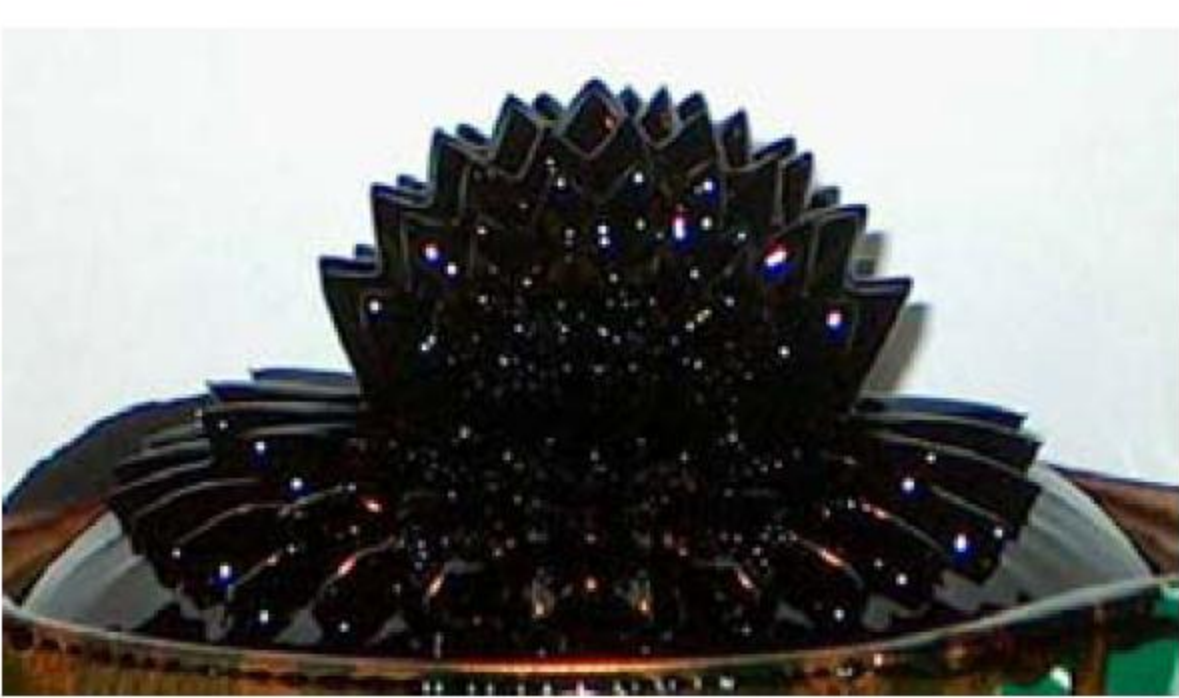
-۹- کنترل جریان سوخت مایع موشک ها و سفینه های فضایی

۱۰- کاربردهای آموزشی ، سرگرمی و ...







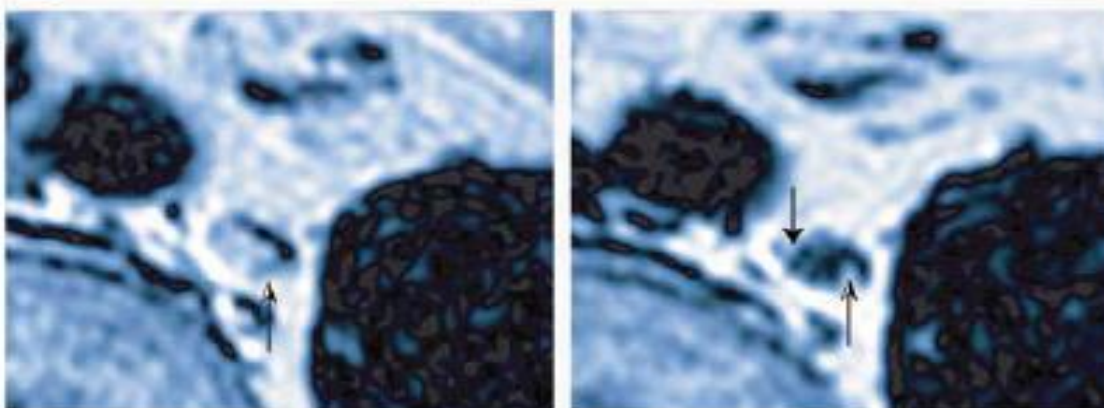
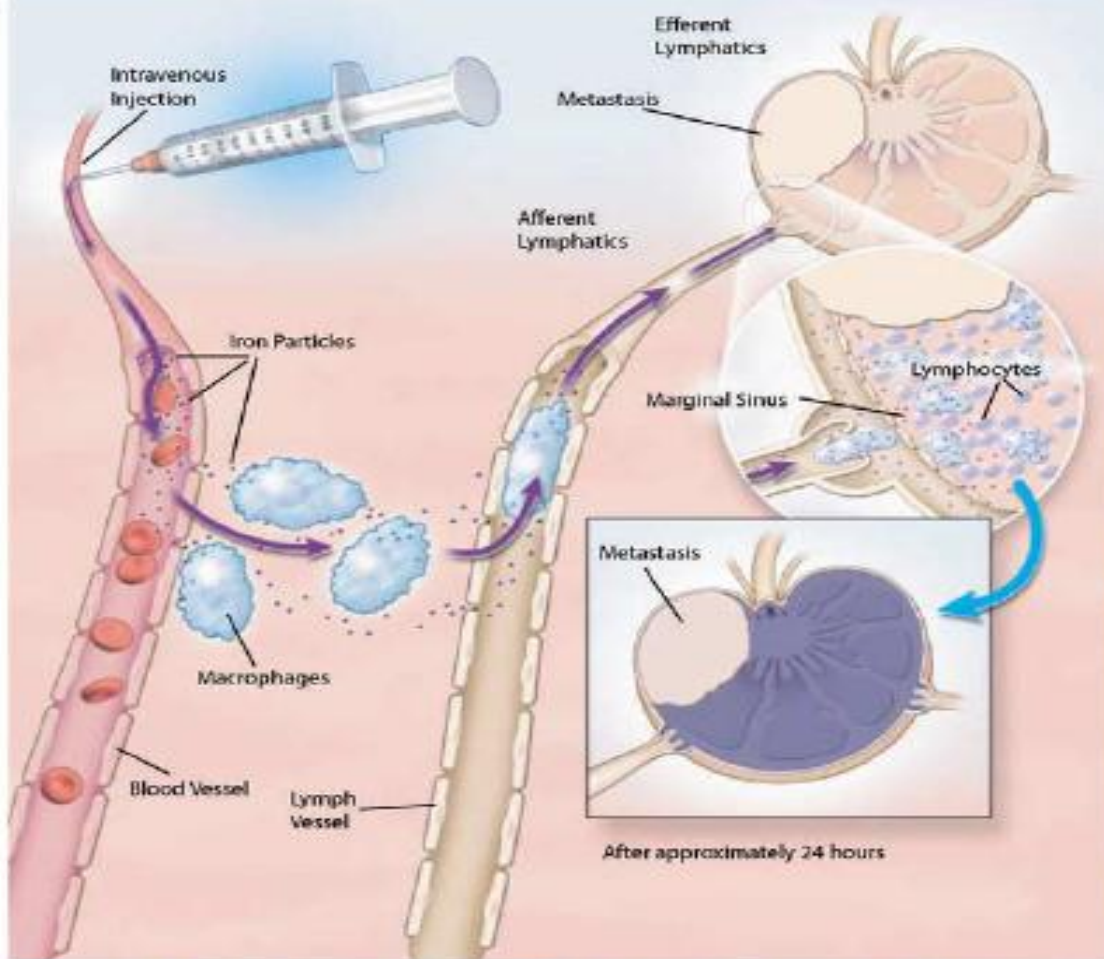


- کاربردهای پزشکی:
- داروسانی •

Agent	Particle size	Target organs	FDA approval
AMI-121 ⁵¹	300 nm	GI lumen	Approved
OMP50	3.5 μ m	GI lumen	Approved
AMI-25 ^{112,113}	80-150 nm	Liver/spleen	Approved
SHU 555A ^{40,112,114}	62 nm	Liver/spleen, blood pool	Phase III
AMI-277 ^{74,76,115}	20-40 nm	Lymph nodes, blood pool	Under review
NC100150 ^{116,117}	20 nm	Blood pool	Under development
Code 7228 ¹¹⁸	30 nm	Blood pool	Phase II

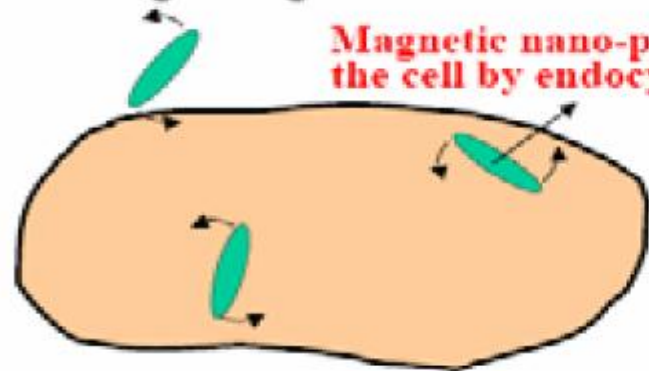
• مکانیزم های هدایت
نانوذرات به بافت هدف

- تزریق مستقیم
- هدایت مغناطیسی
- اندازه ذرات
- استفاده از آنتی بادی
- جذب در بافت سرطانی

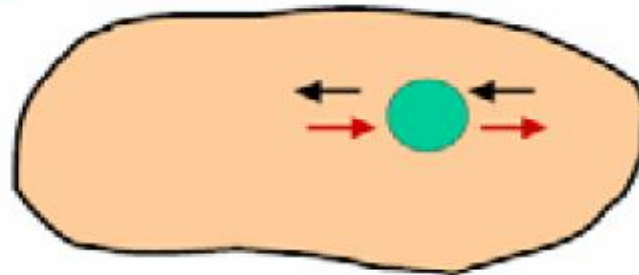


• تخریب سلول سرطانی

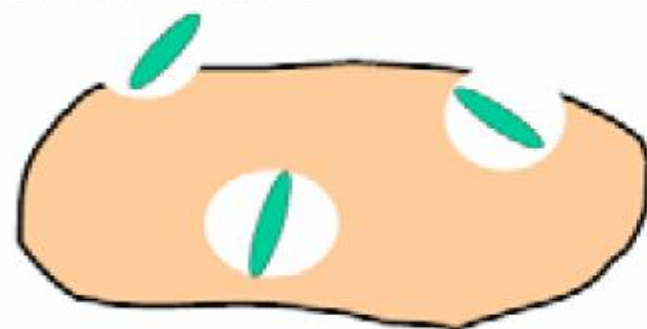
(a) Tumor cell with rotating elongated MNPs



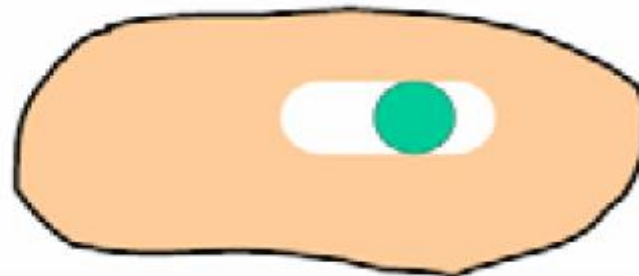
(c) Tumor Cell with laterally oscillating MNPs



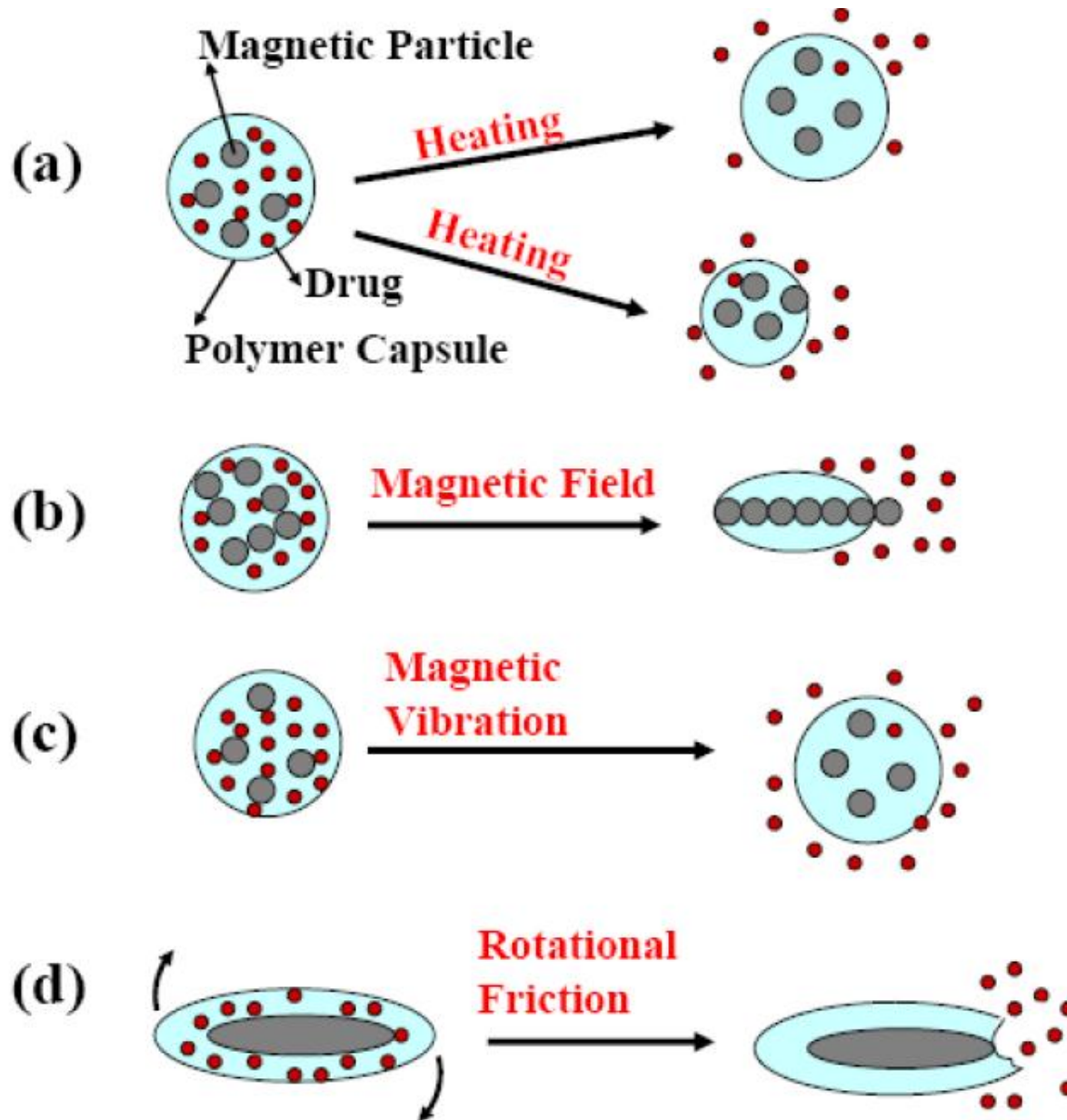
(b) Cell damage after MNPs rotation



(d) Cell damage after MNPs lateral oscillation

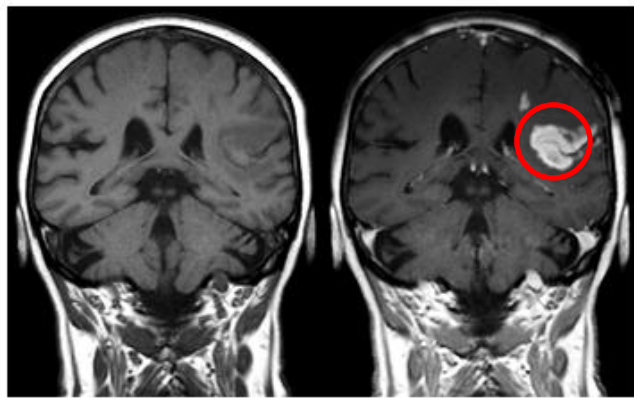


• آزادسازی دارو



تصویر برداری تشدید مغناطیسی و عوامل کنتراست

- به تصویر کشیدن ساختارهای داخلی بدن، رزونانس مغناطیسی هسته (NMR)



Effect of contrast agent on images: Defect of the blood-brain barrier after stroke shown in MRI.
 T_1 -weighted images, left image without, right image with contrast medium administration.

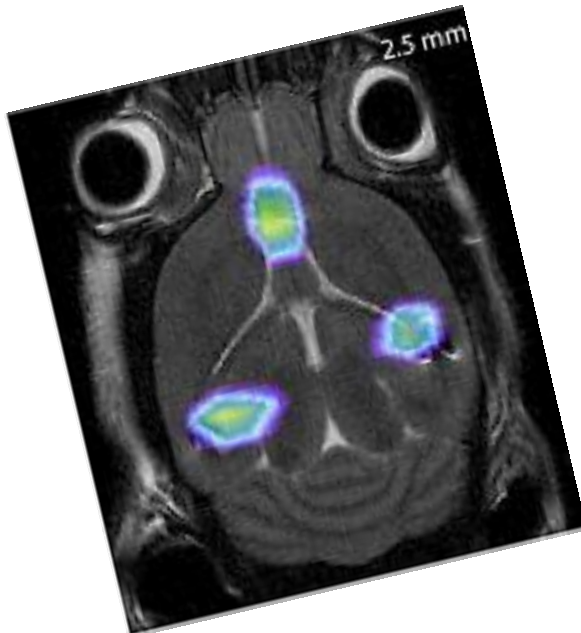
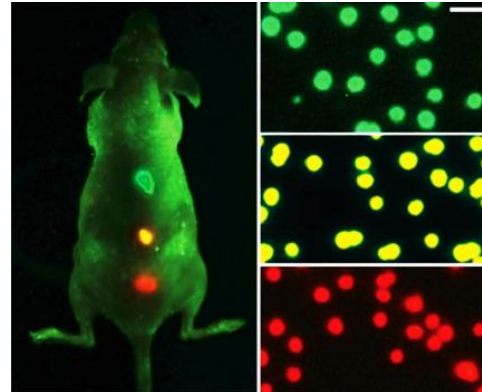
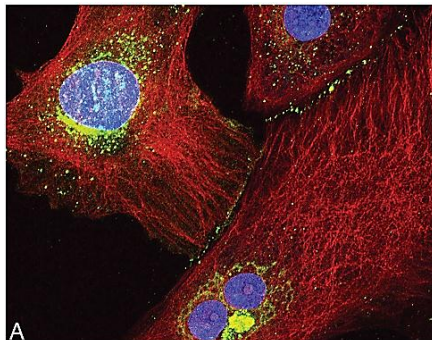
1. Gd
2. Mn
3. Fe

- بافت های نرم
- تفاوت های ذاتی بافت های بدن
 - T_1
 - T_2
 - $P(n)$
- افزایش کنتراست و وضوح در تصاویر

- ویژگی های لازم:
 ١. الکترون جفت نشده
 ٢. ممان مغناطیسی
 ٣. زمان آسايش الکترون-اسپین

تصویر برداری دو منظوره تشدید مغناطیسی و فلوئورسنس

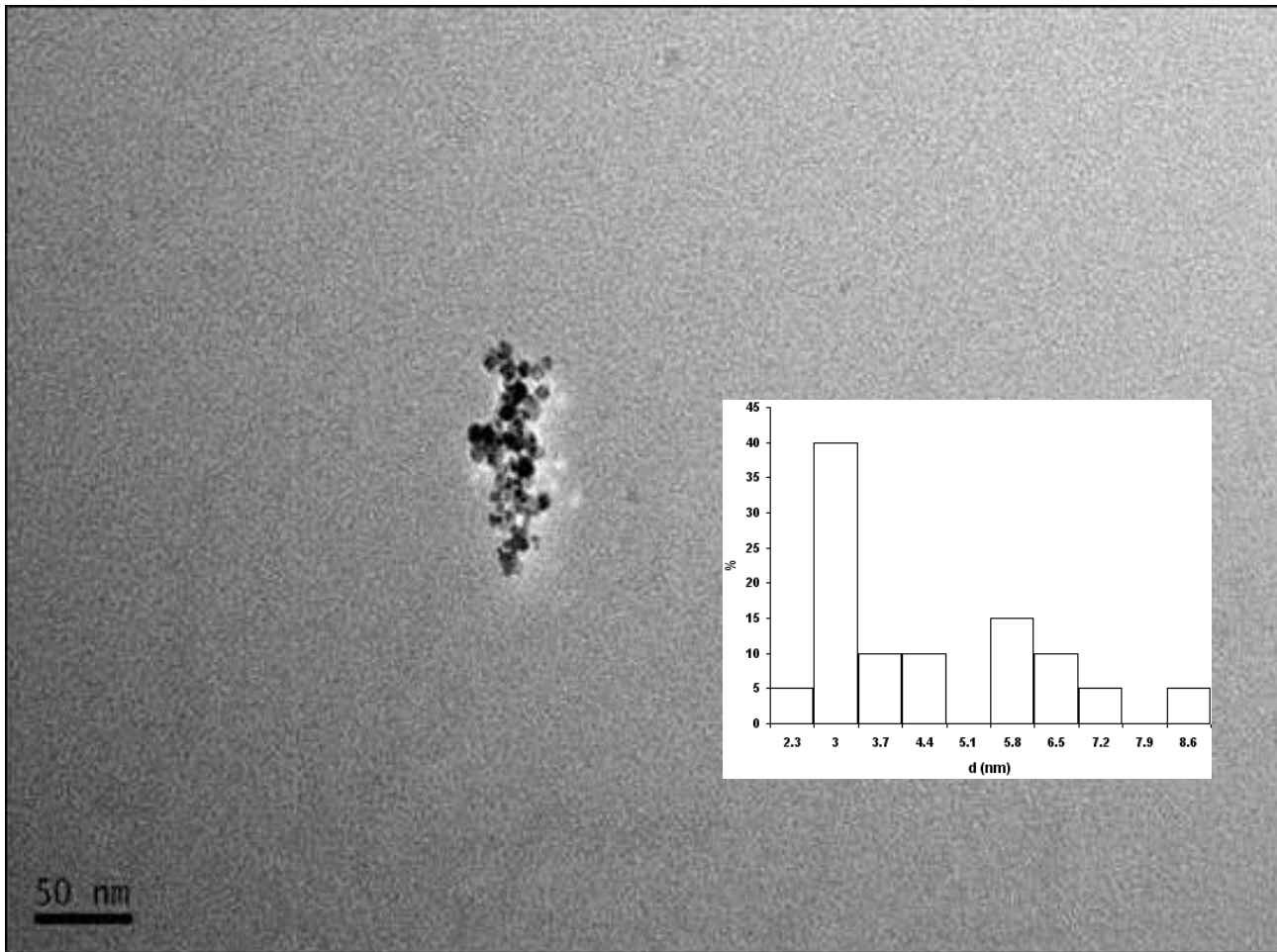
MRI/Optical imaging •

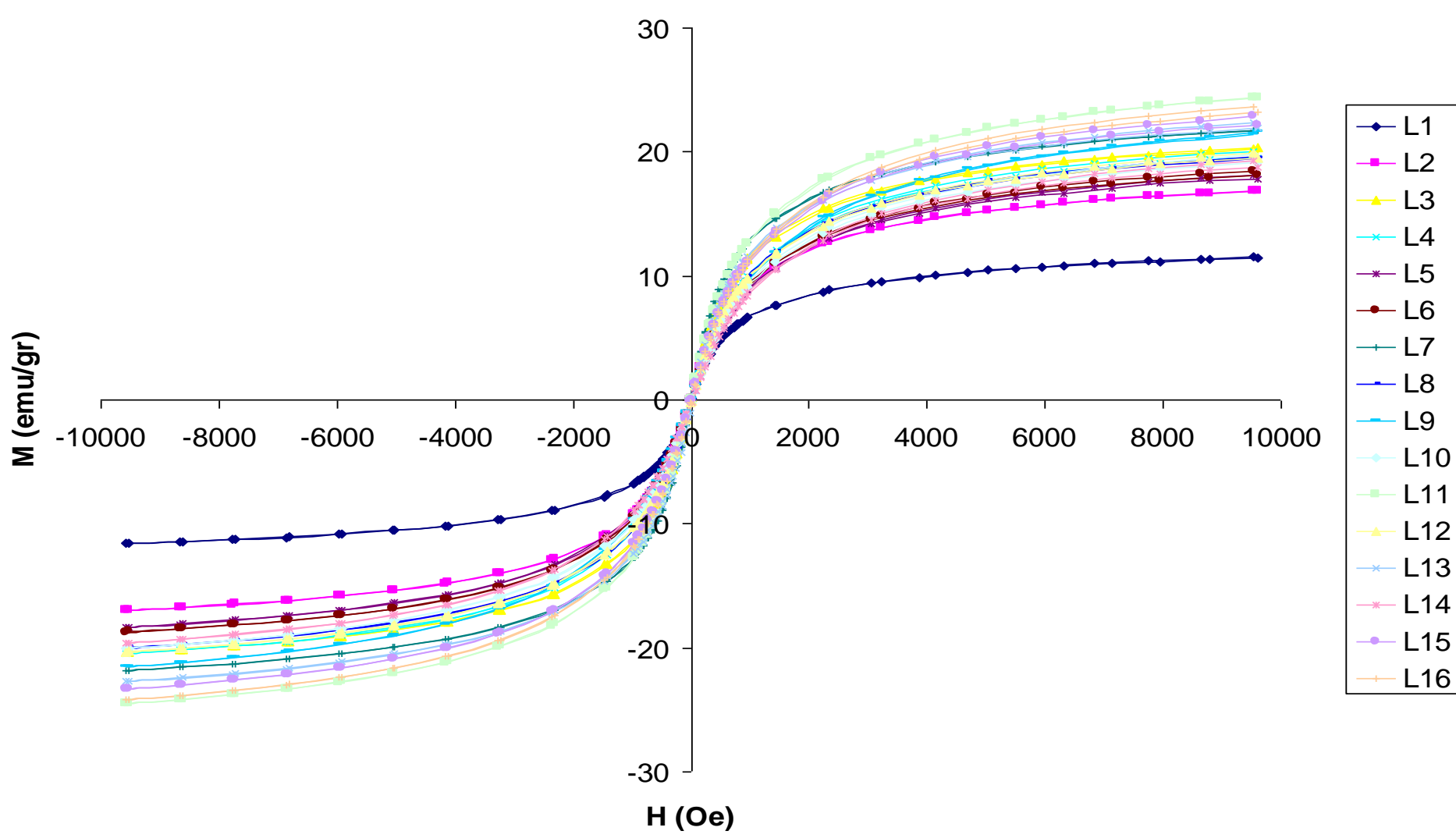


- اتصال رنگ های آلی به نانو ذرات اکسید آهن
- اتصال کیلیت های گادولینیوم به نقاط کوانتمی
- اتصال کیلیت های گادولینیوم به پلیمرهای دارای خاصیت فلوئورسنس

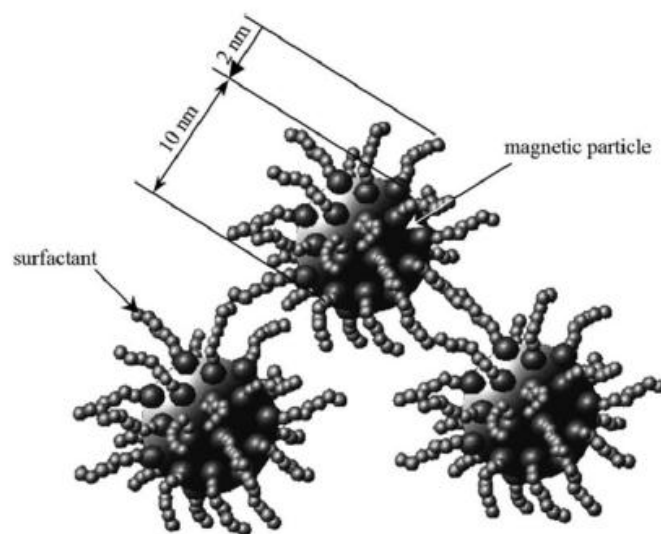
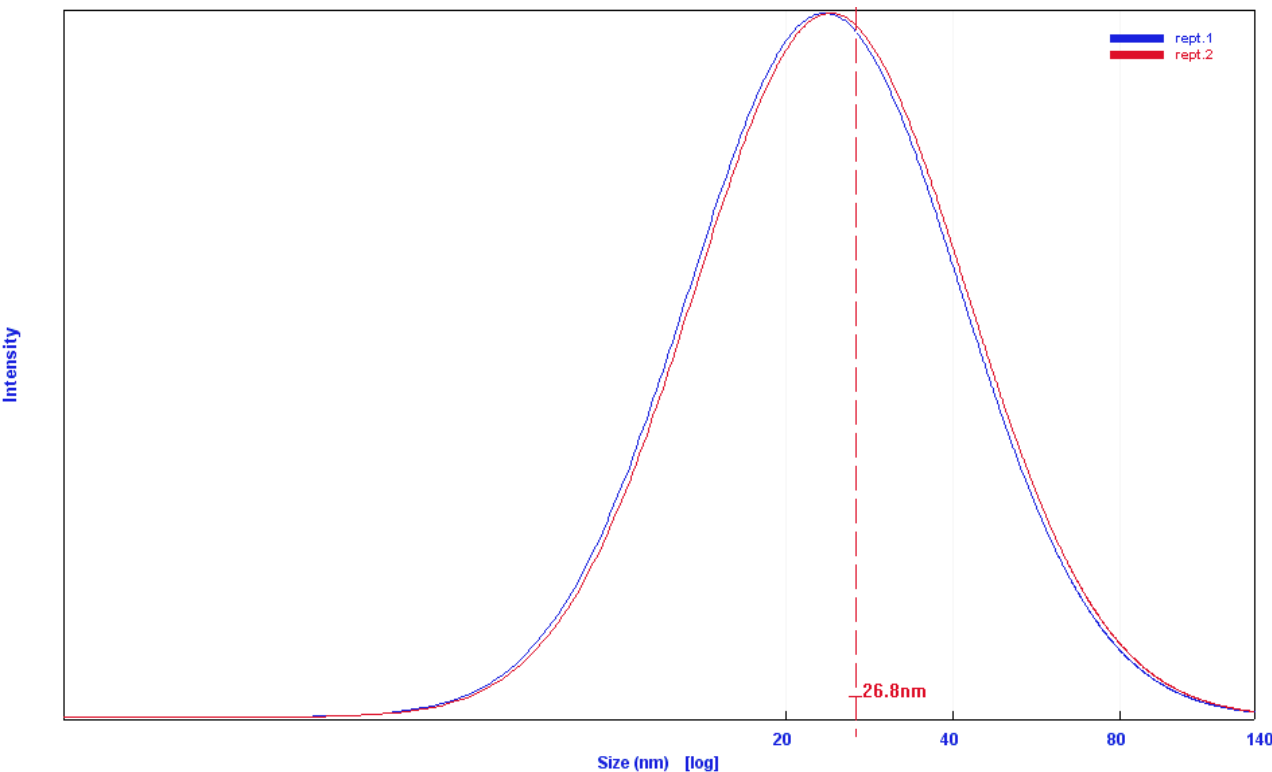
استفاده از یک پروب
هزینه کمتر
مراحل سنتز کوتاه تر

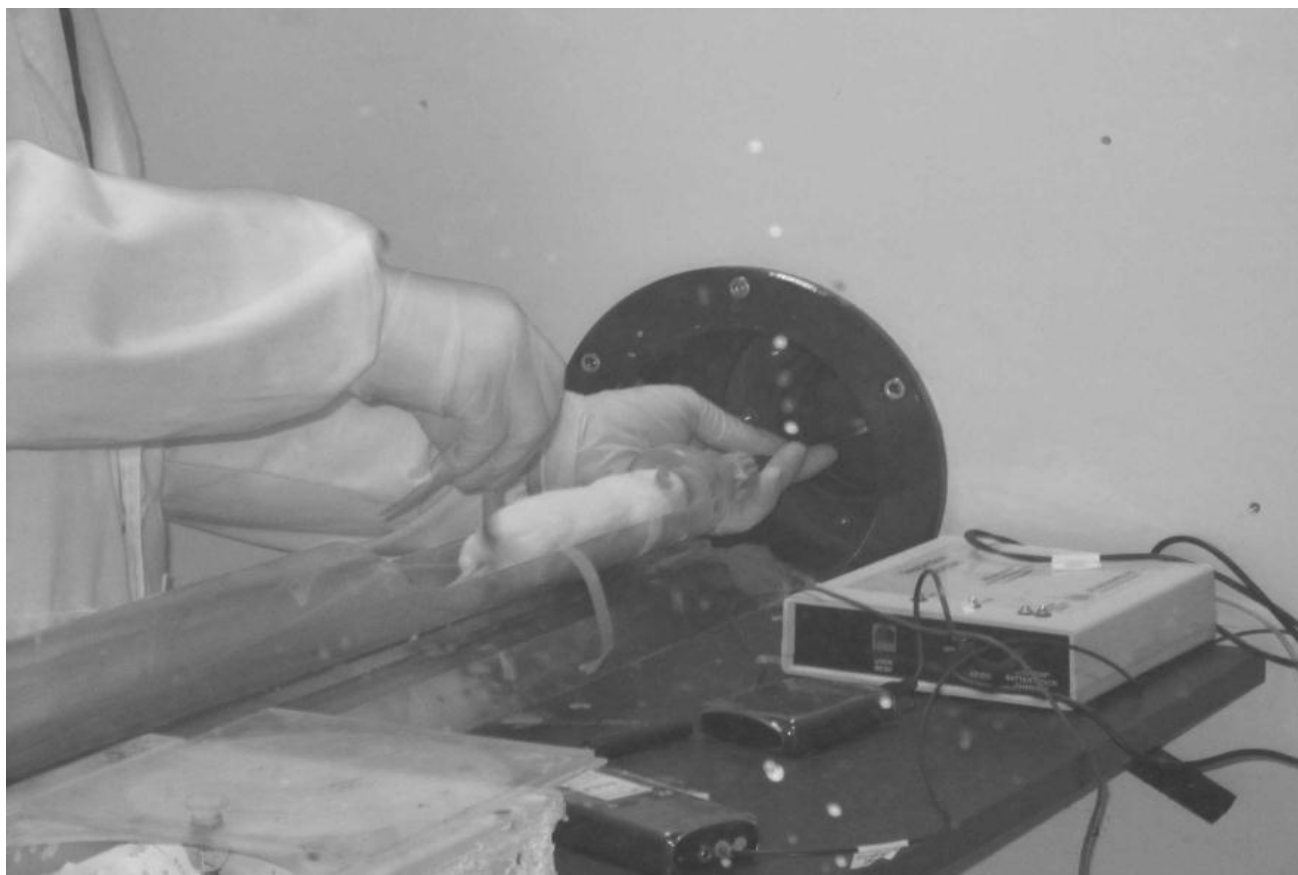
- تصویر TEM و توزیع اندازه ذره نمونه نانوذرات مگنتیت با متوسط اندازه ذرات ۴/۴۸ نانومتر (سورفکتانت دکستران)





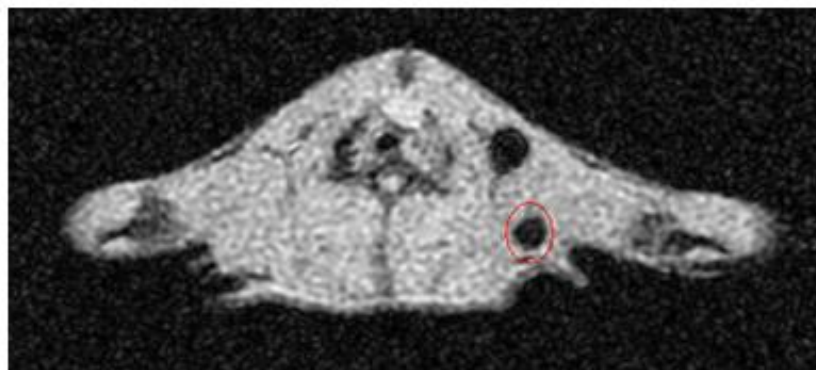
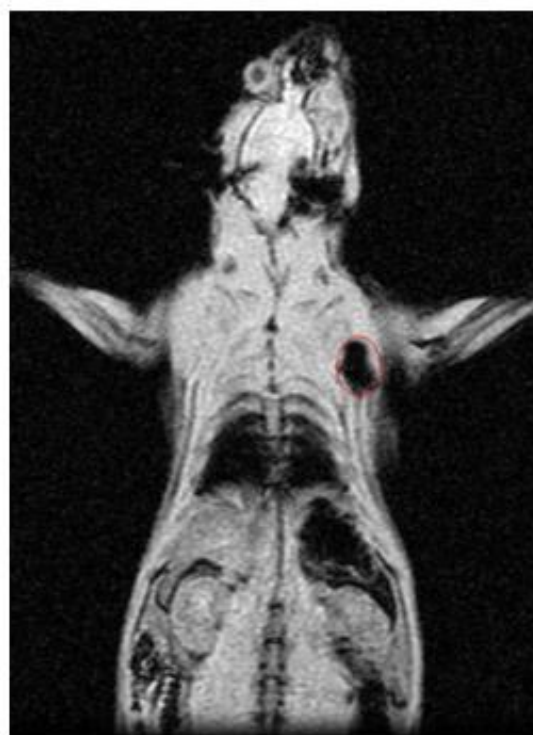
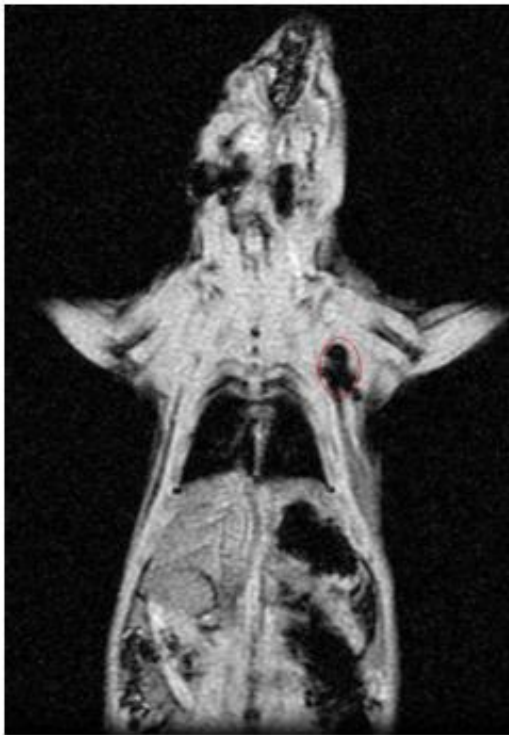
• نقش اندازه هیدرودینامیکی:



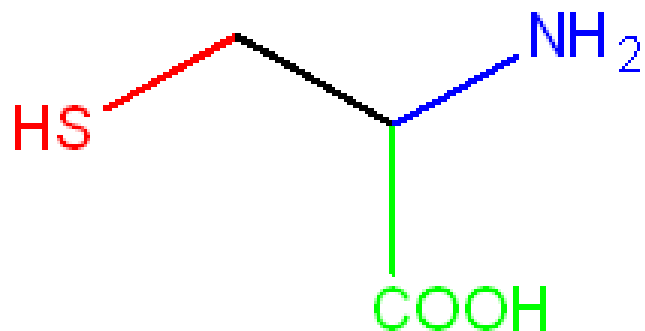
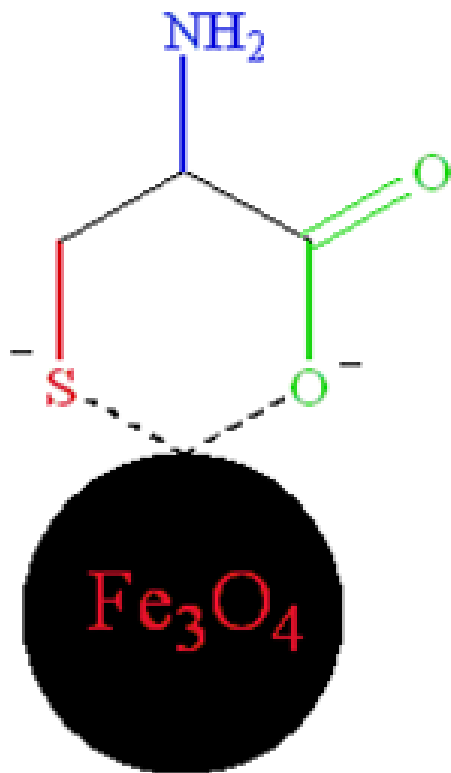


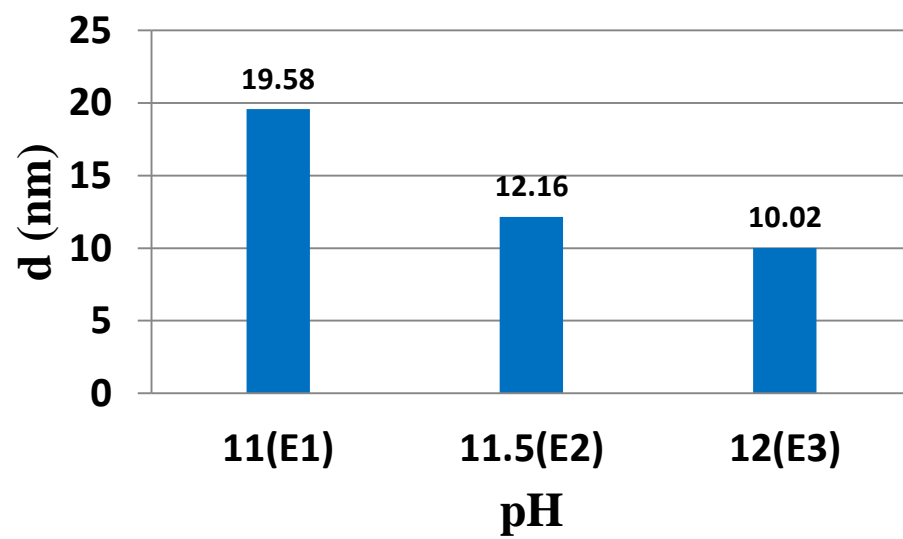
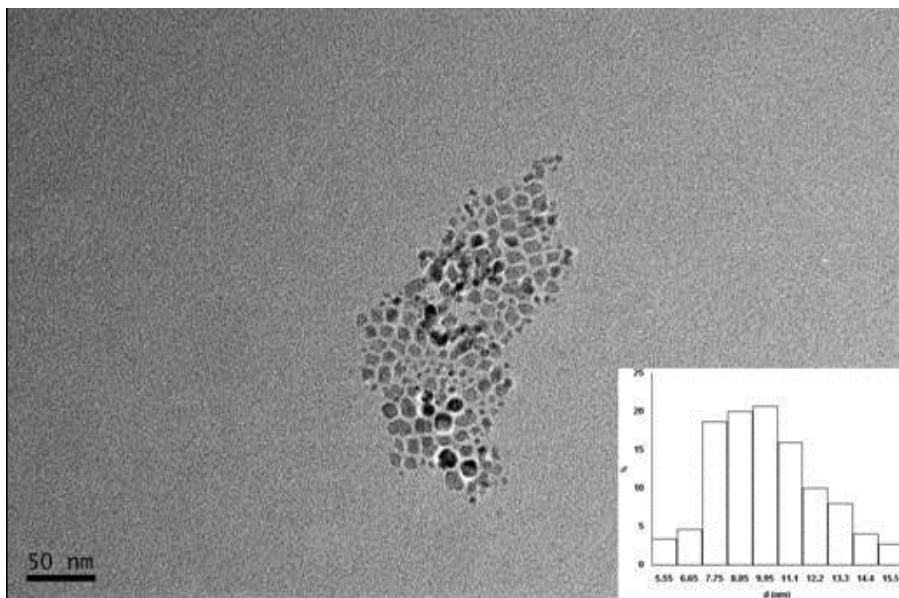
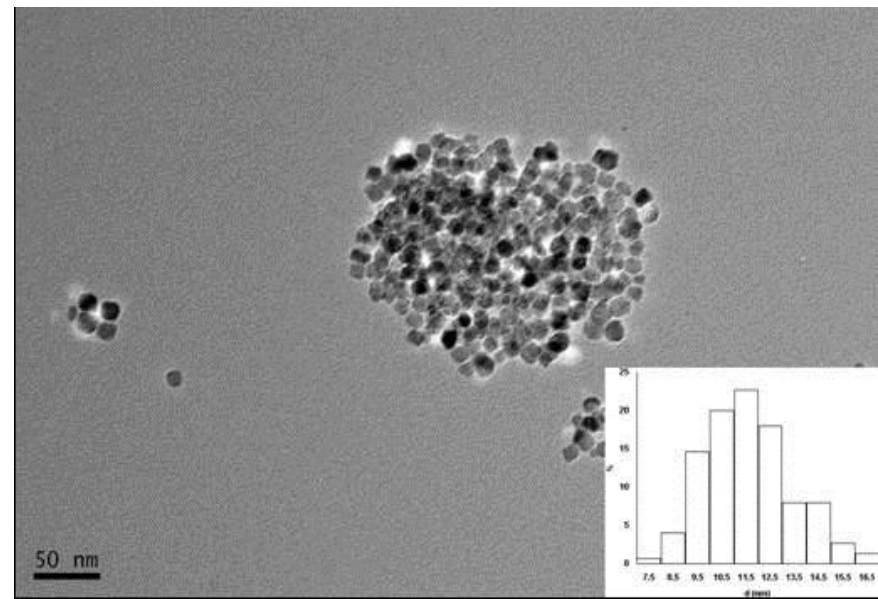
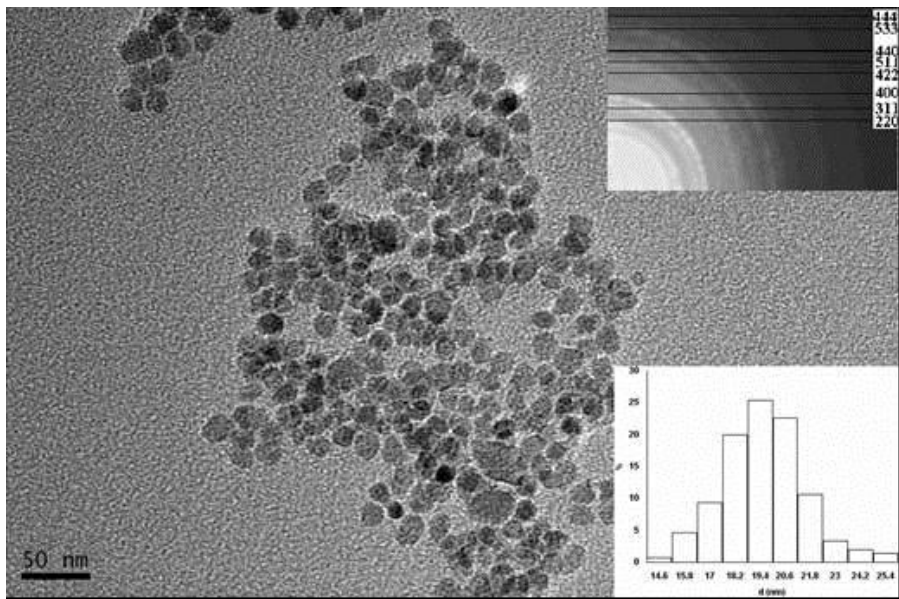
- تجمع نانوذرات مگنتیت در غدد لنفاوی موش آزمایشگاهی ۶ ساعت پس از تزریق زیرجلدی نمونه N_{Opt} (سورفکتان

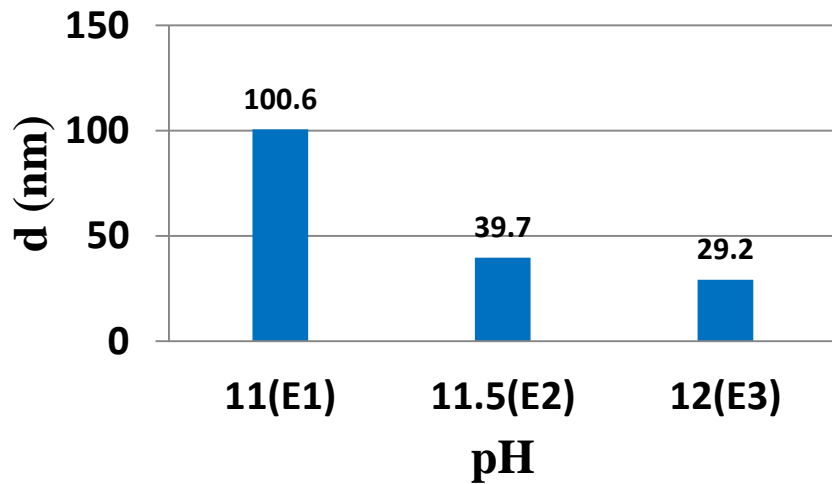
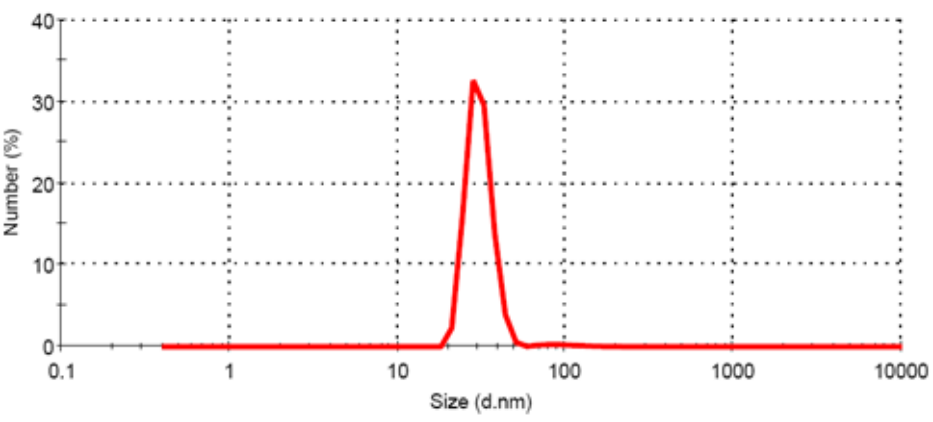
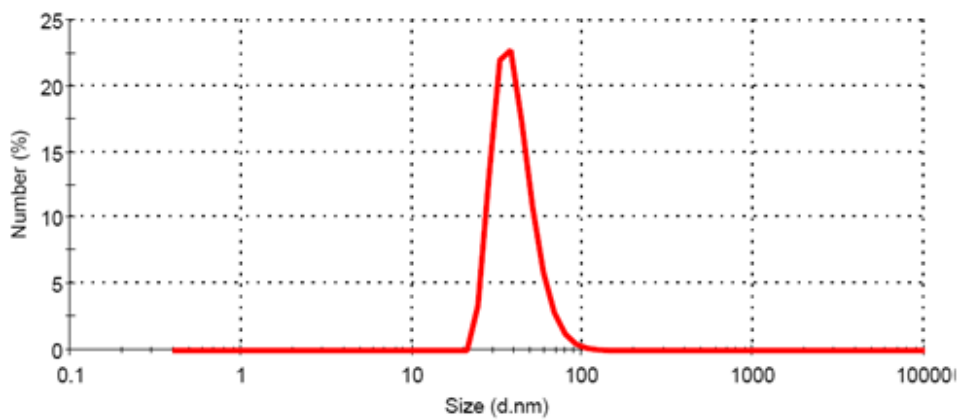
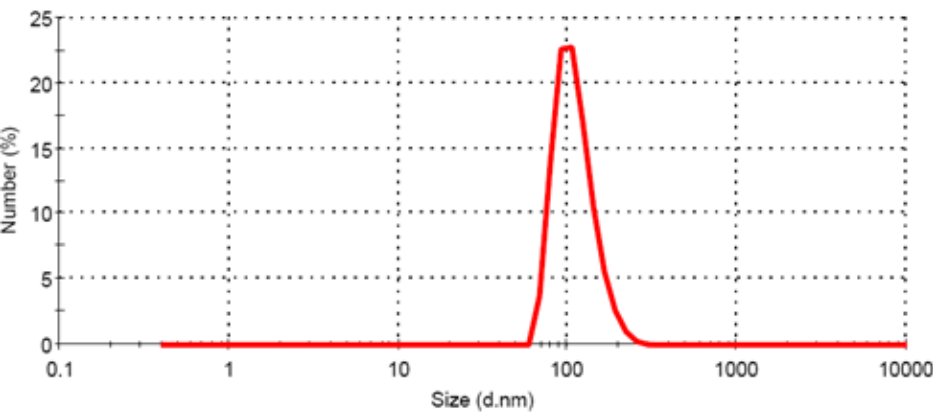
دکستران)



- استفاده از سورفکتانت سیستئین
- اندازه هیدرودینامیکی کوچک
- مغناطش اشباع بزرگ

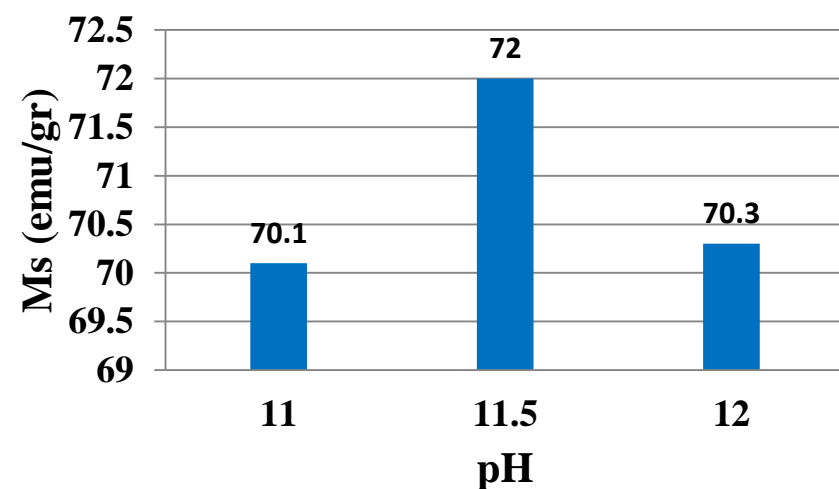
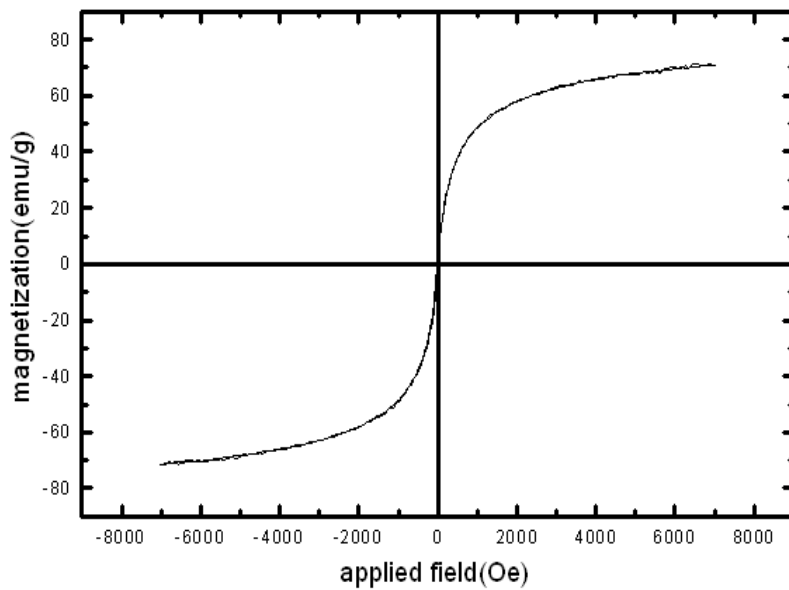
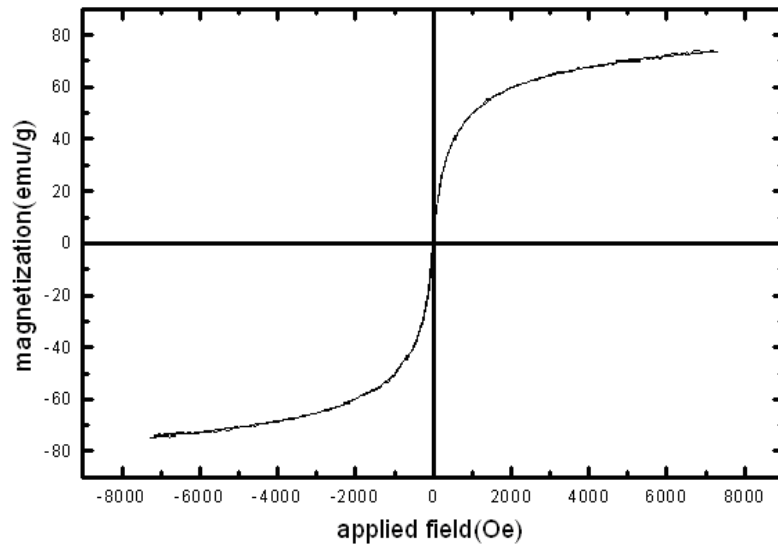
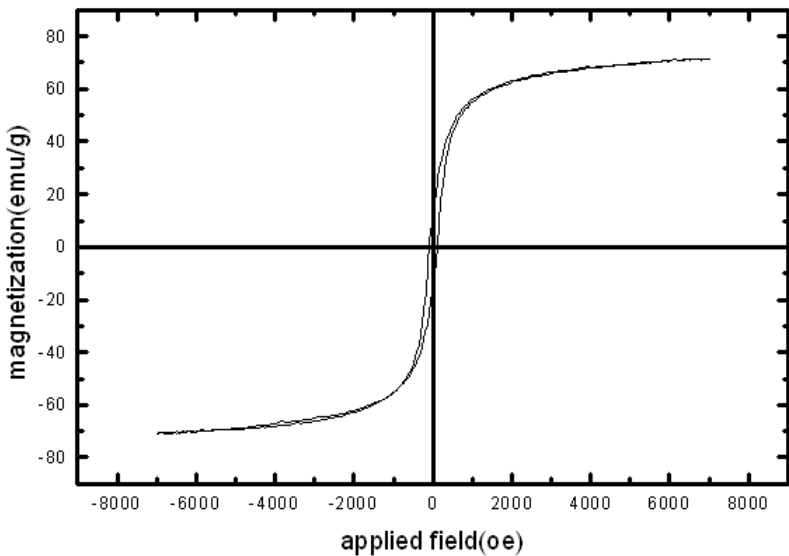




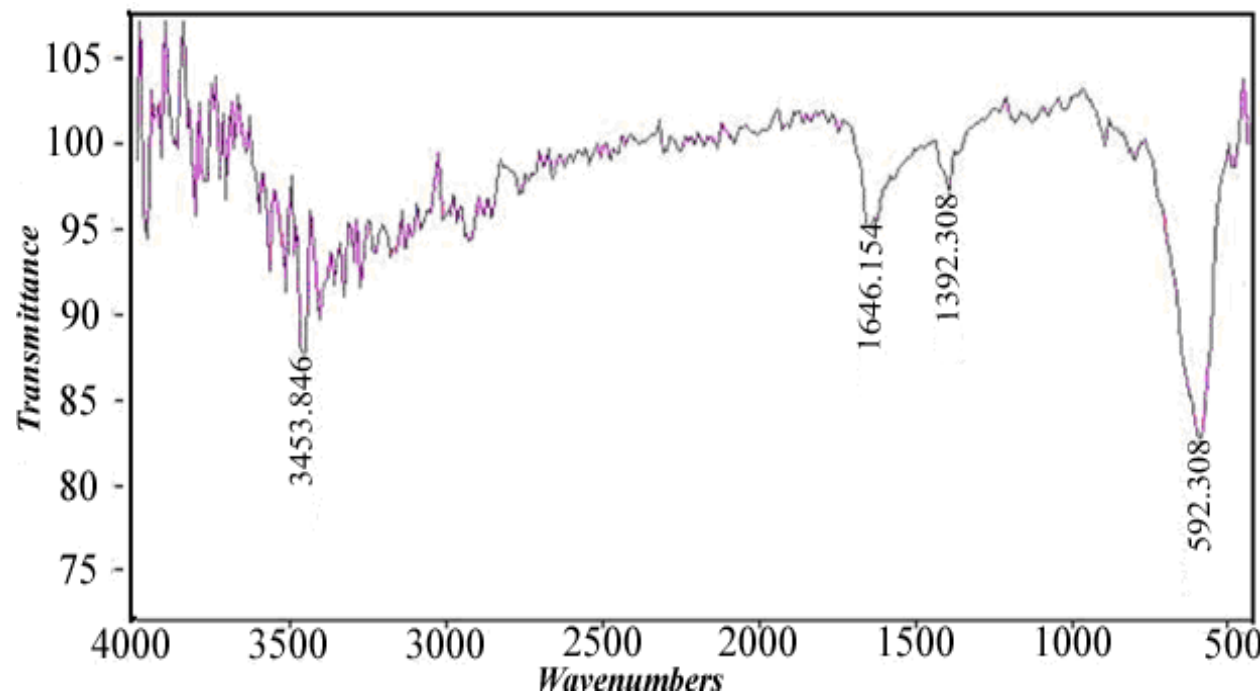


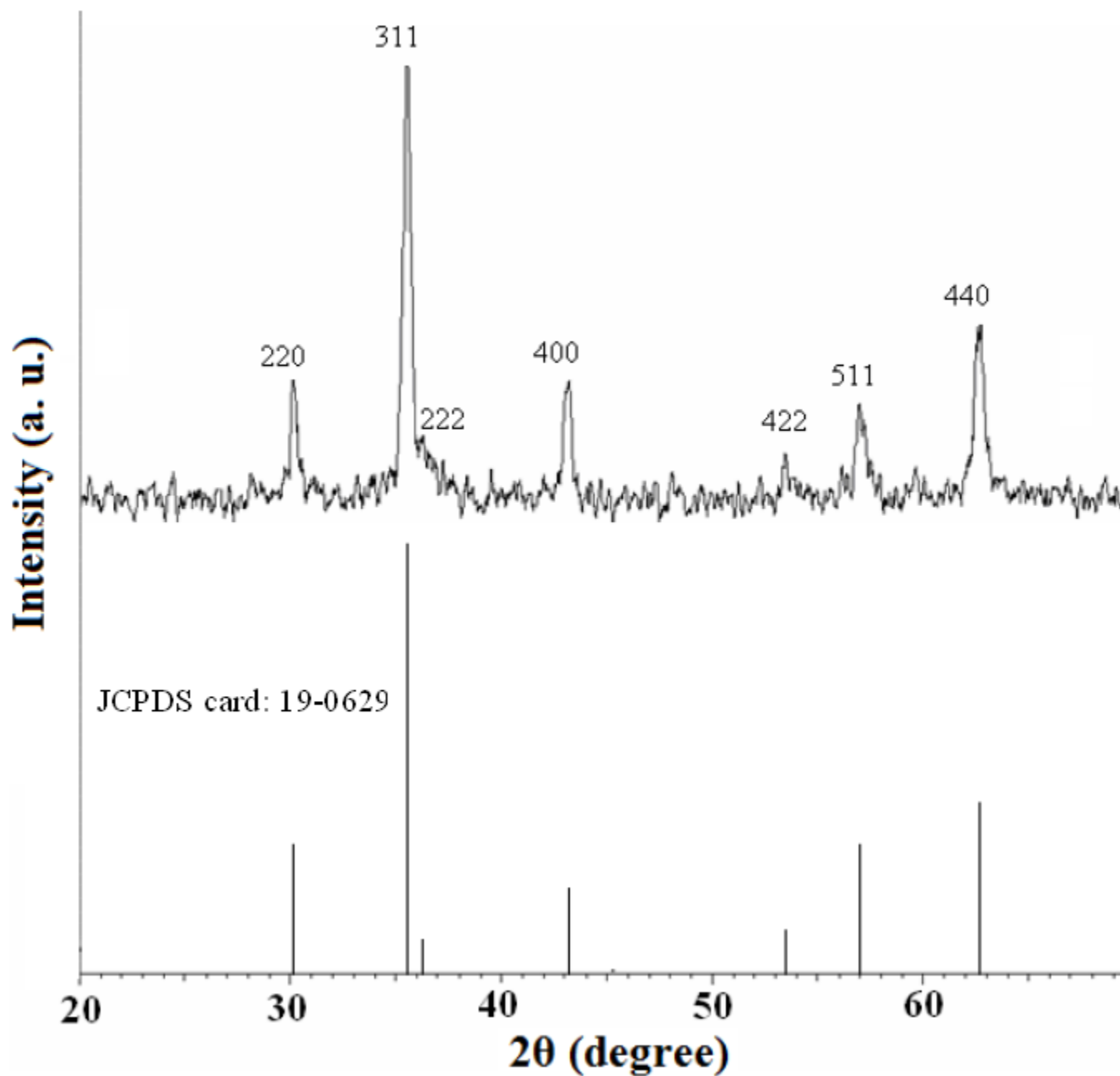
کاهش اندازه ذره و اندازه هیدرودینامیکی ذره با افزایش

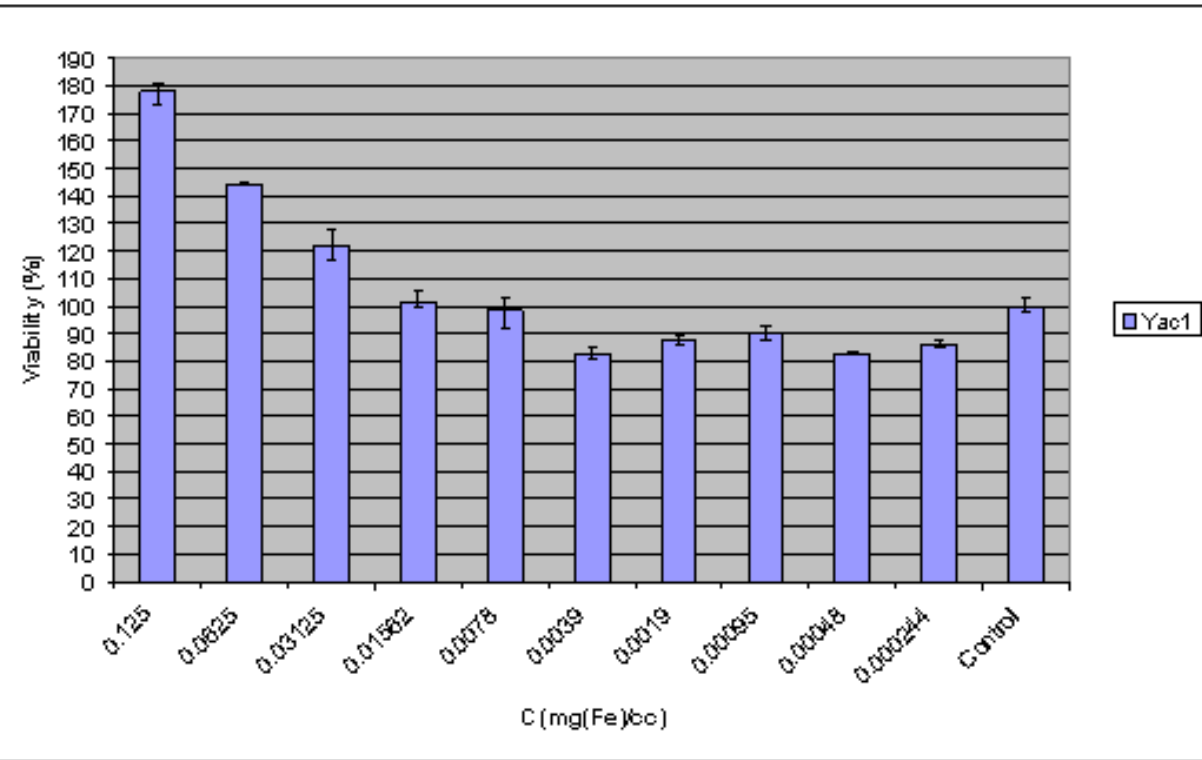
pH به دلیل افزایش بار سطحی مشابه نانوذرات



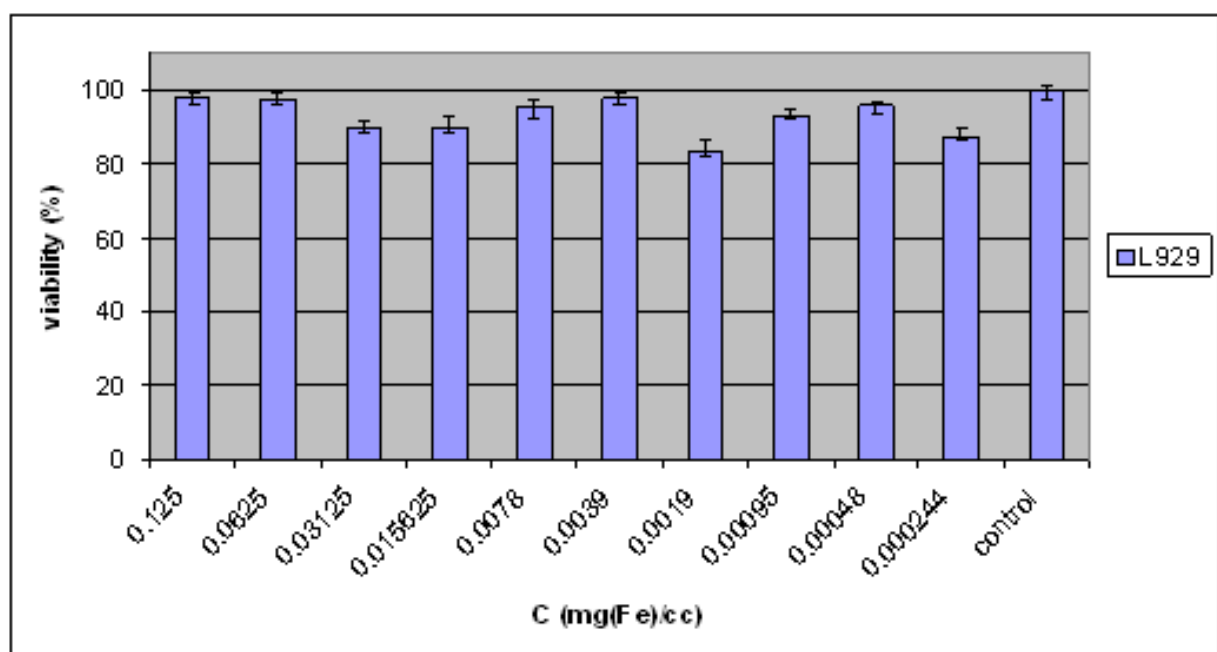
- پیک مشخصه 592 cm^{-1} مربوط به پیوند Fe-O در مگتیت
- پیک های در محدوده $1650\text{-}1100\text{ cm}^{-1}$ نشان دهنده حضور گروه های کربنیل و اتیل
- پیک های در محدوده $3000\text{-}3500\text{ cm}^{-1}$ مربوط به ساختار آلکیل



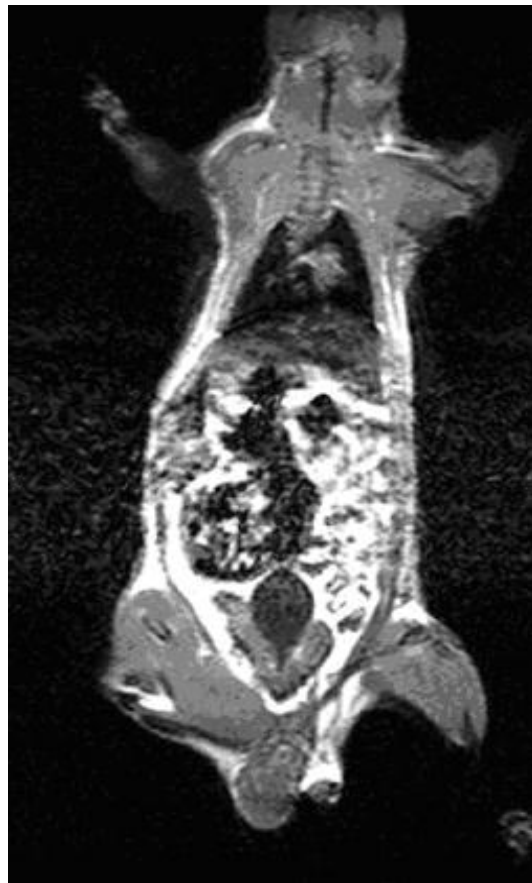




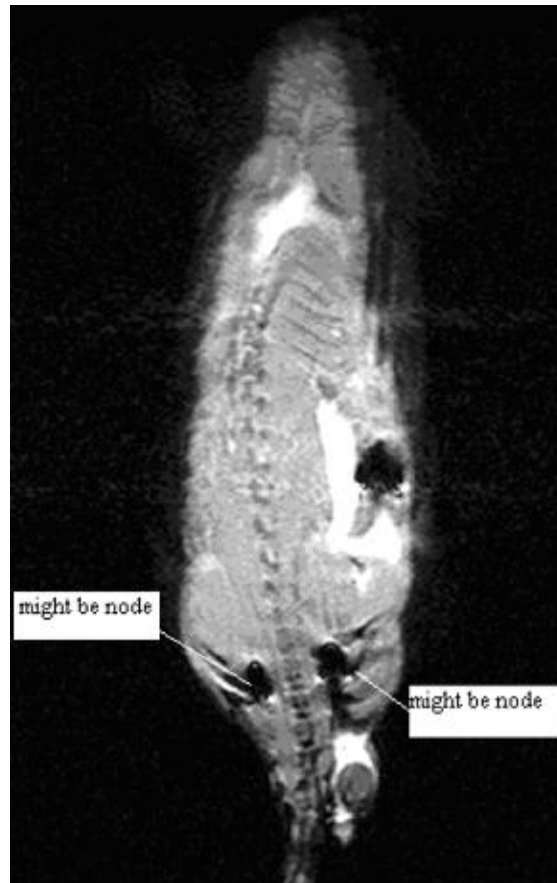
• تست MTT نمونه E3



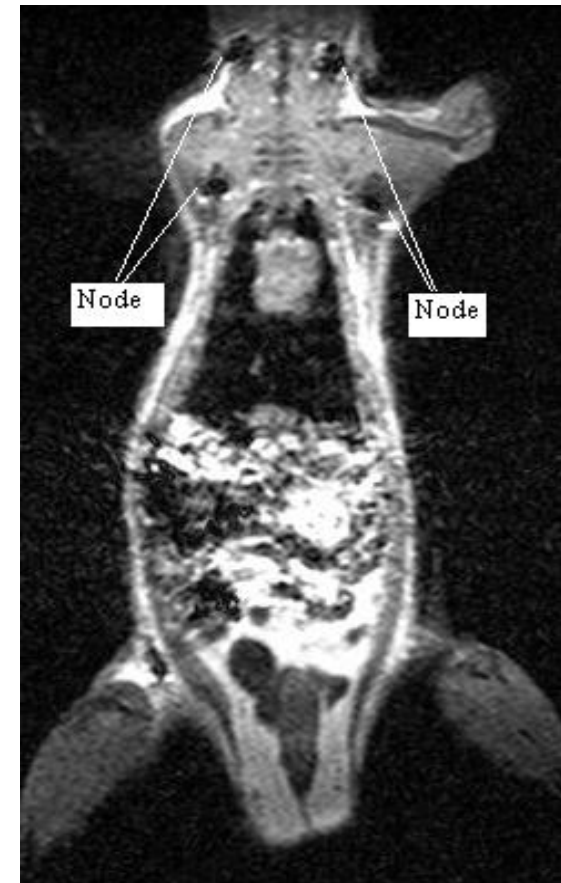
- تجمع نانوذرات مگنتیت در غدد لنفاوی موش آزمایشگاهی ۲۴ ساعت پس از تزریق وریدی نمونه E2 و E3



E1

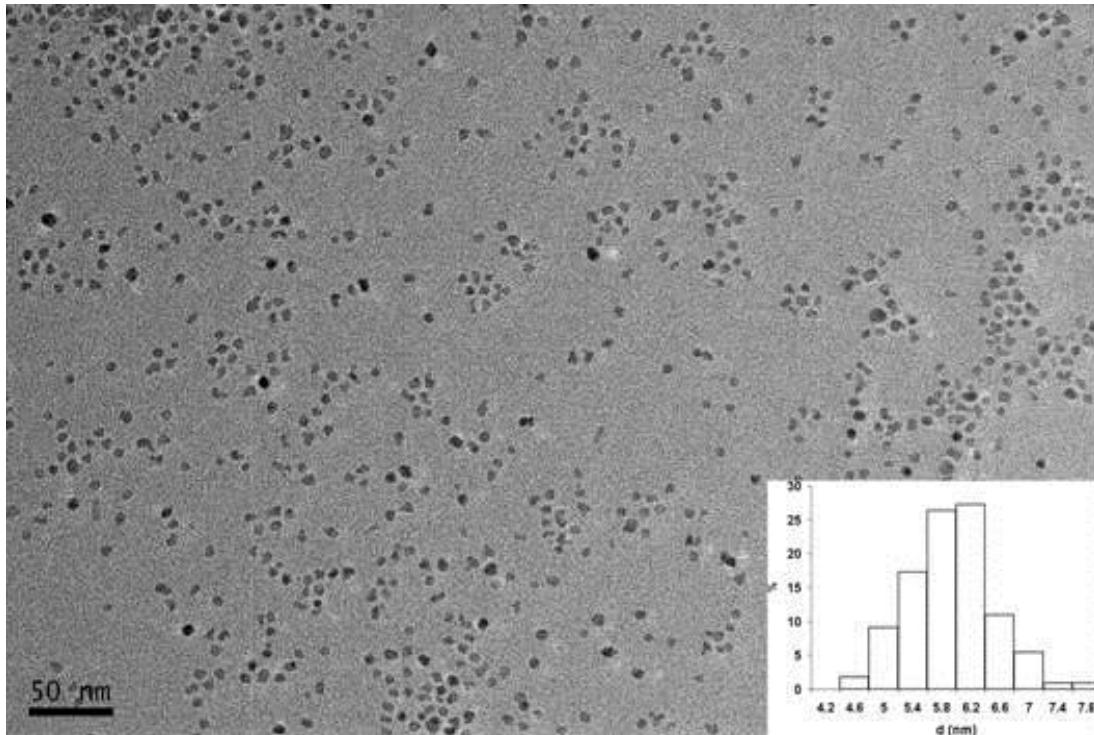


E2

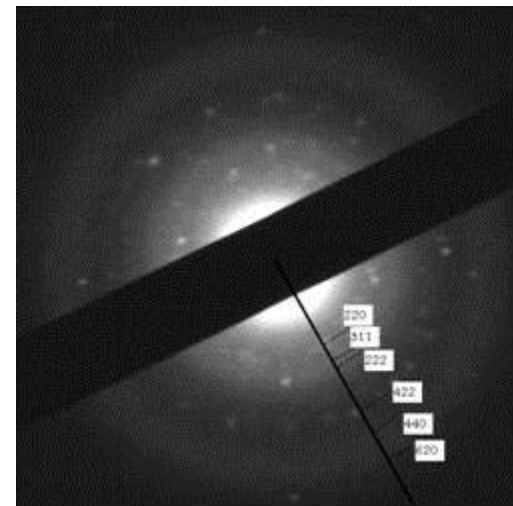
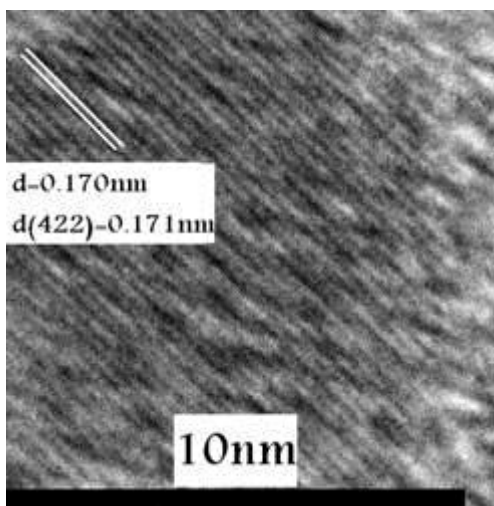
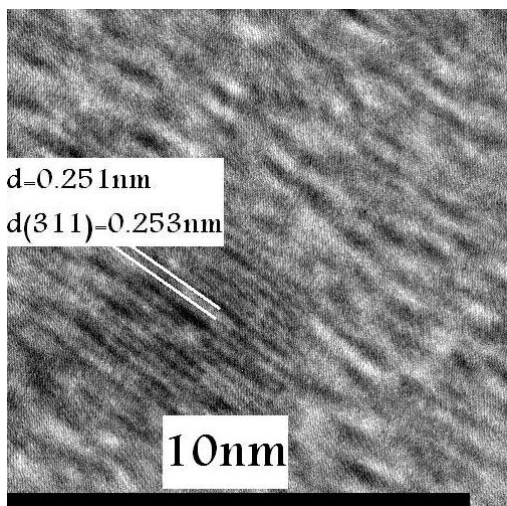


E3

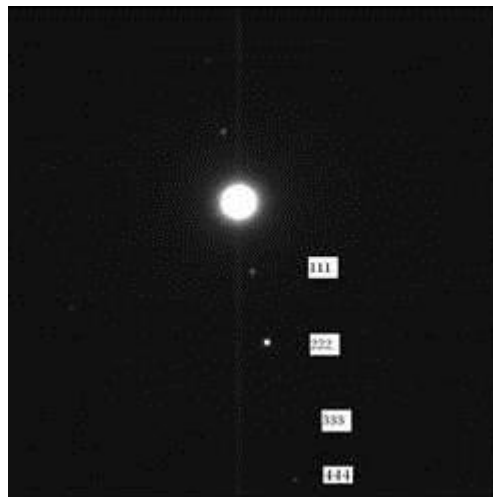
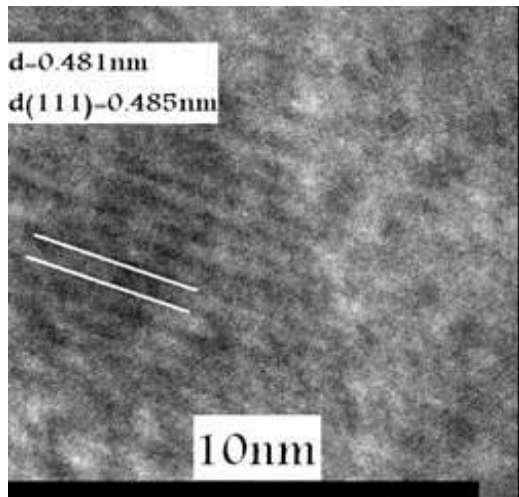
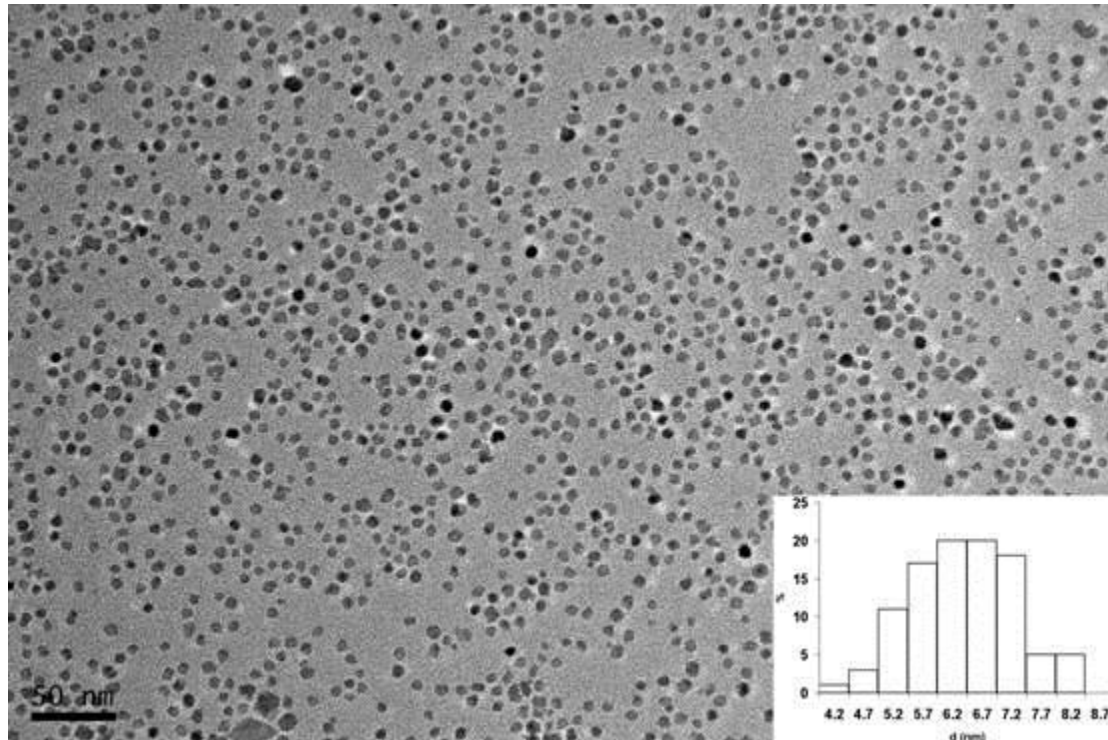
ستتر هیدروترمال نانوذرات مگنتیت



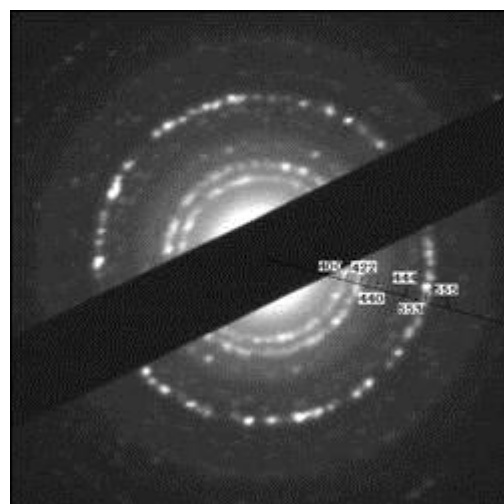
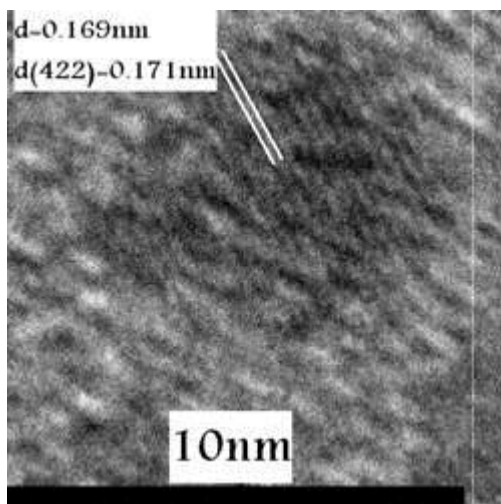
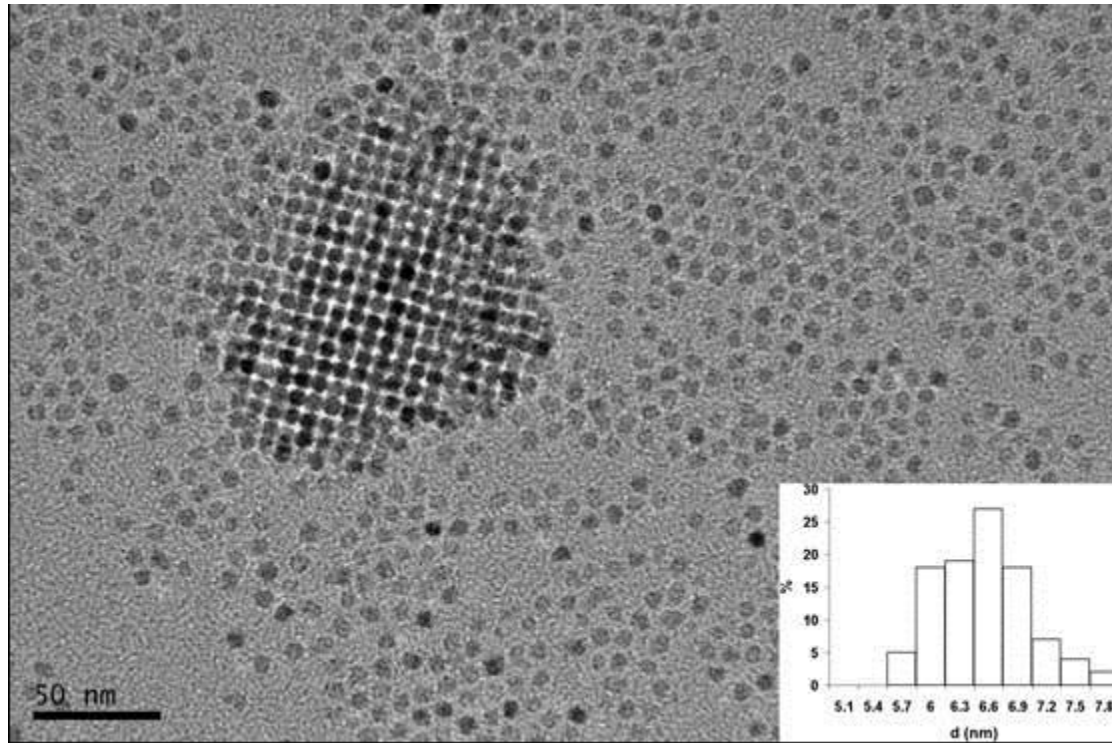
- اثر دمای ستتر
- نمونه Al با متوسط اندازه ذرات ۵/۹۳nm که در 120°C و ۶۰ دقیقه ستتر شده



- نمونه A5 با متوسط اندازه ذره 6.49nm که در 160°C و ۶۰ دقیقه سنتز شده

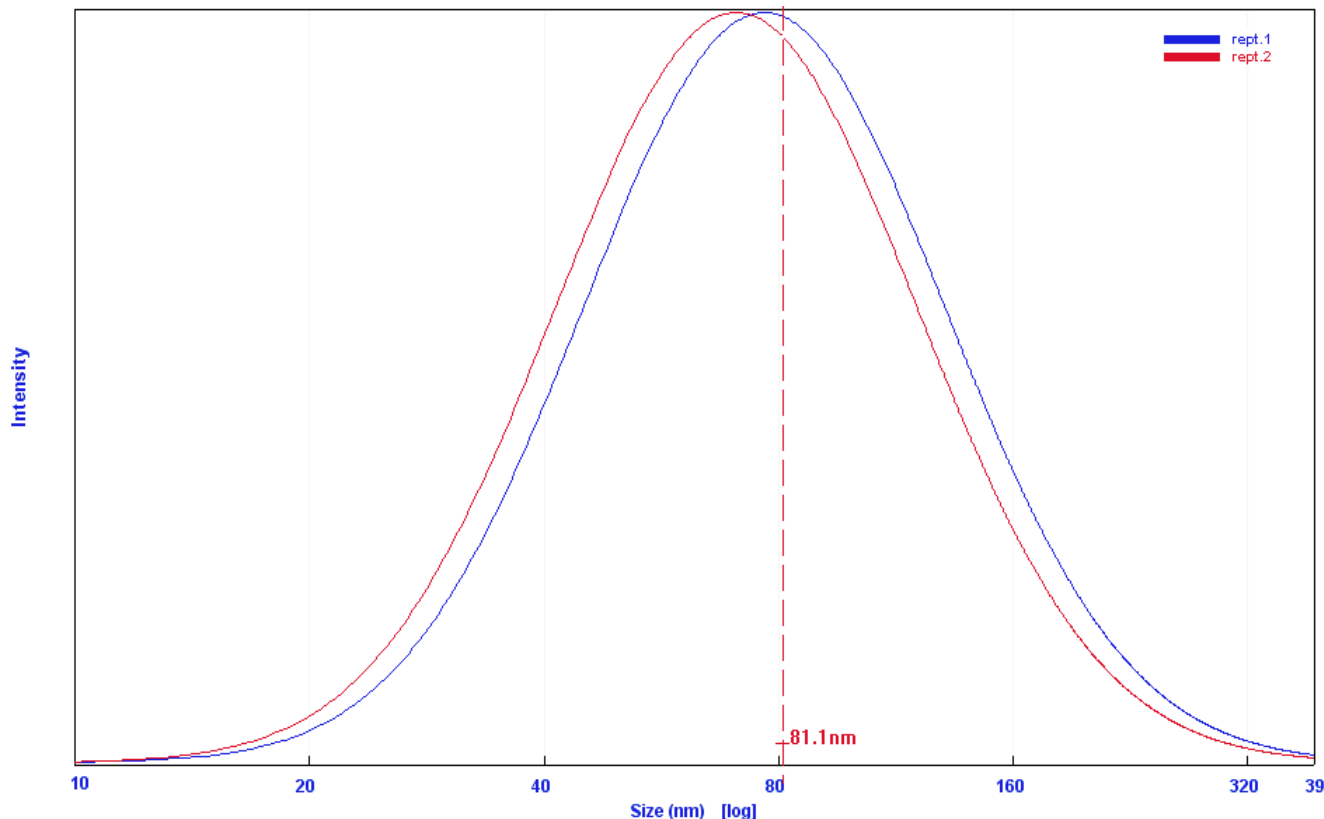


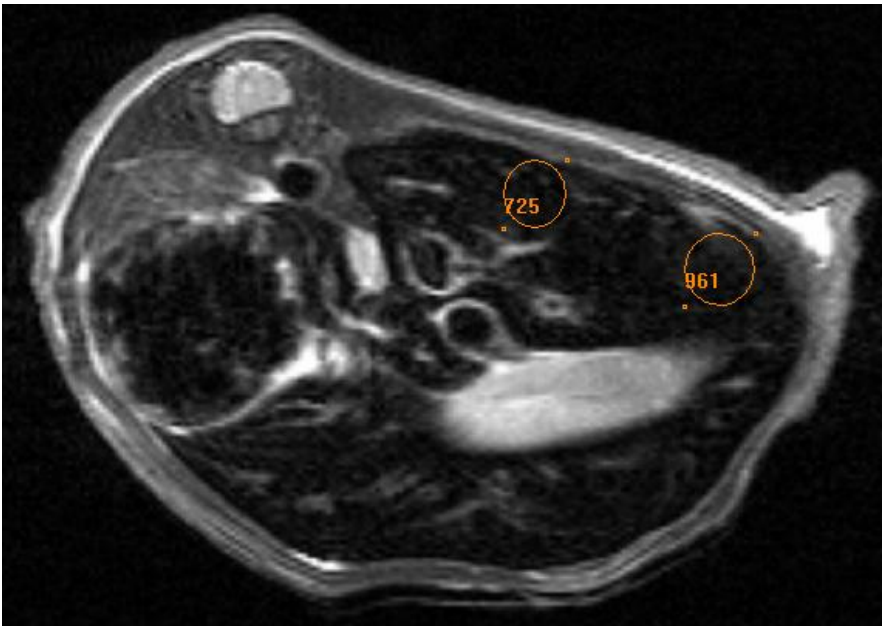
- نمونه A6 با متوسط اندازه ذره 6.58nm که در 170°C و ۶۰ دقیقه سنتز شده



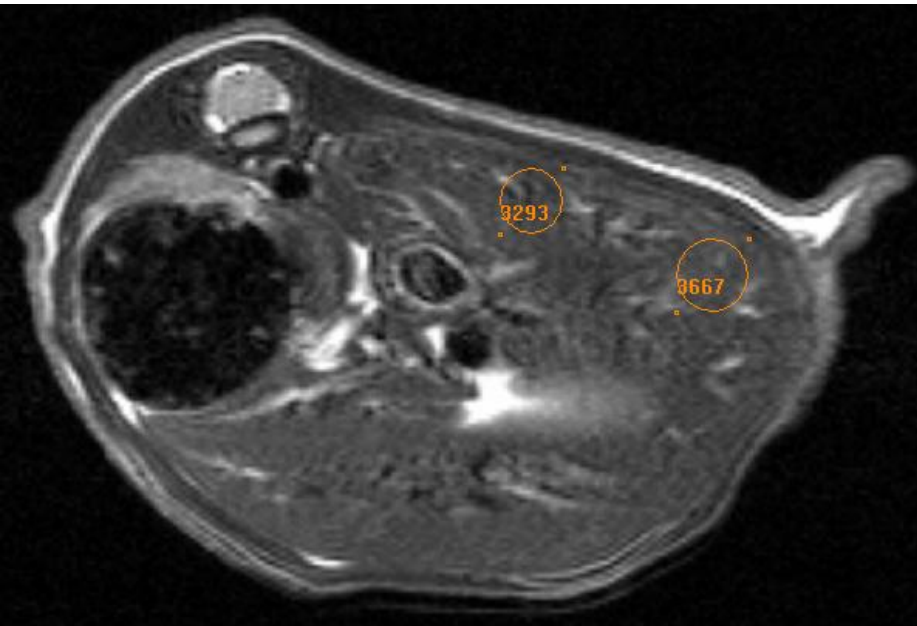
- استفاده از نمونه سنتز شده به روش هیدروترمال به عنوان عامل کنتراست MRI

- نمودار PCS نمونه A4 پایدار شده در لیپیدول با اندازه هیدرودینامیکی متوسط ۸۱ نانومتر:

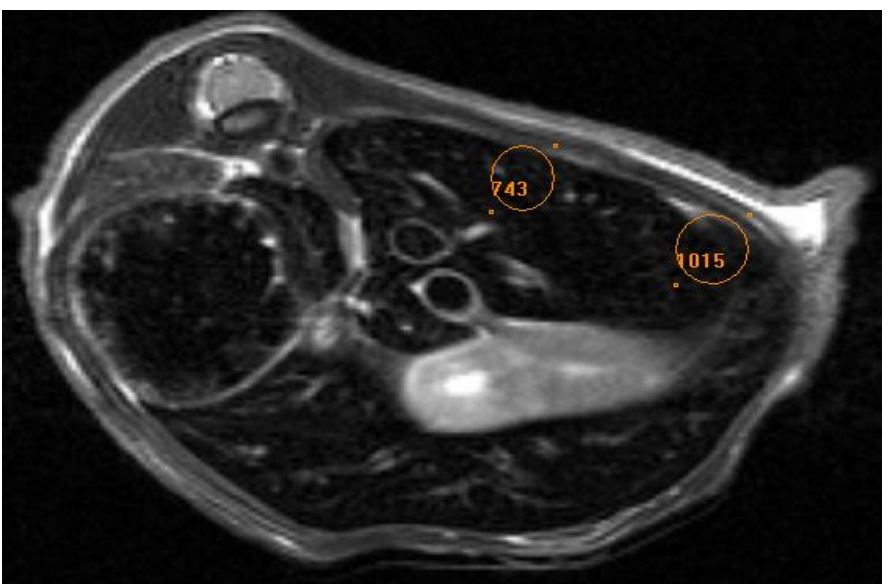




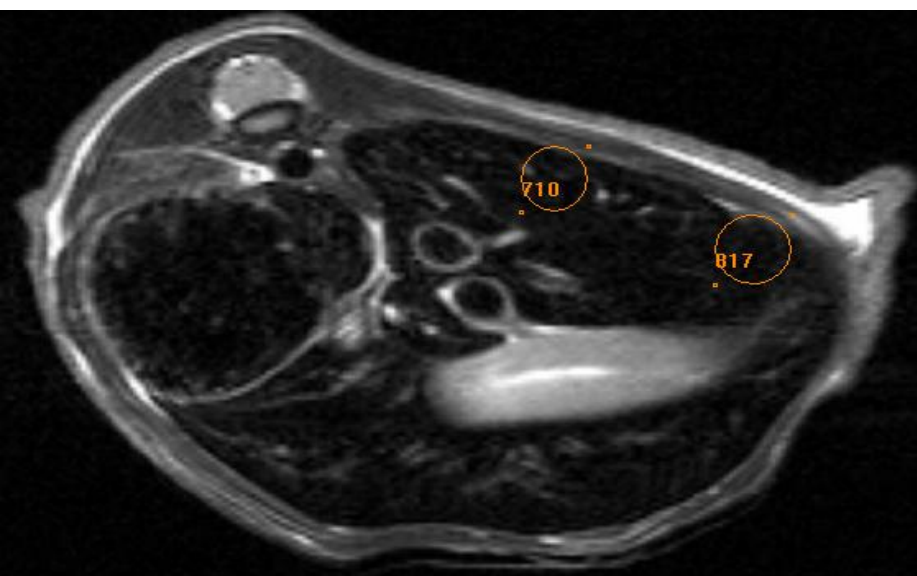
بلافاصله بعد از تزریق



قبل از تزریق



۶۰ دقیقه پس از تزریق



۳۰ دقیقه پس از تزریق

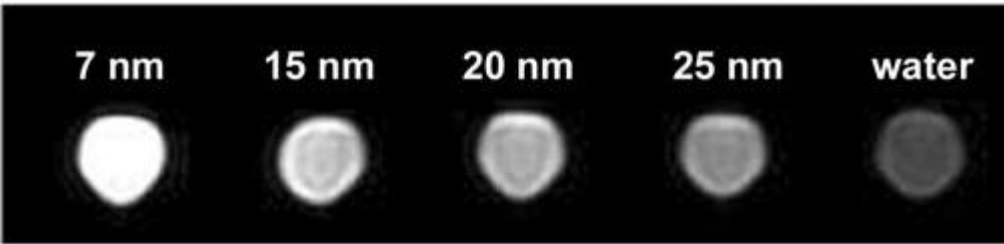
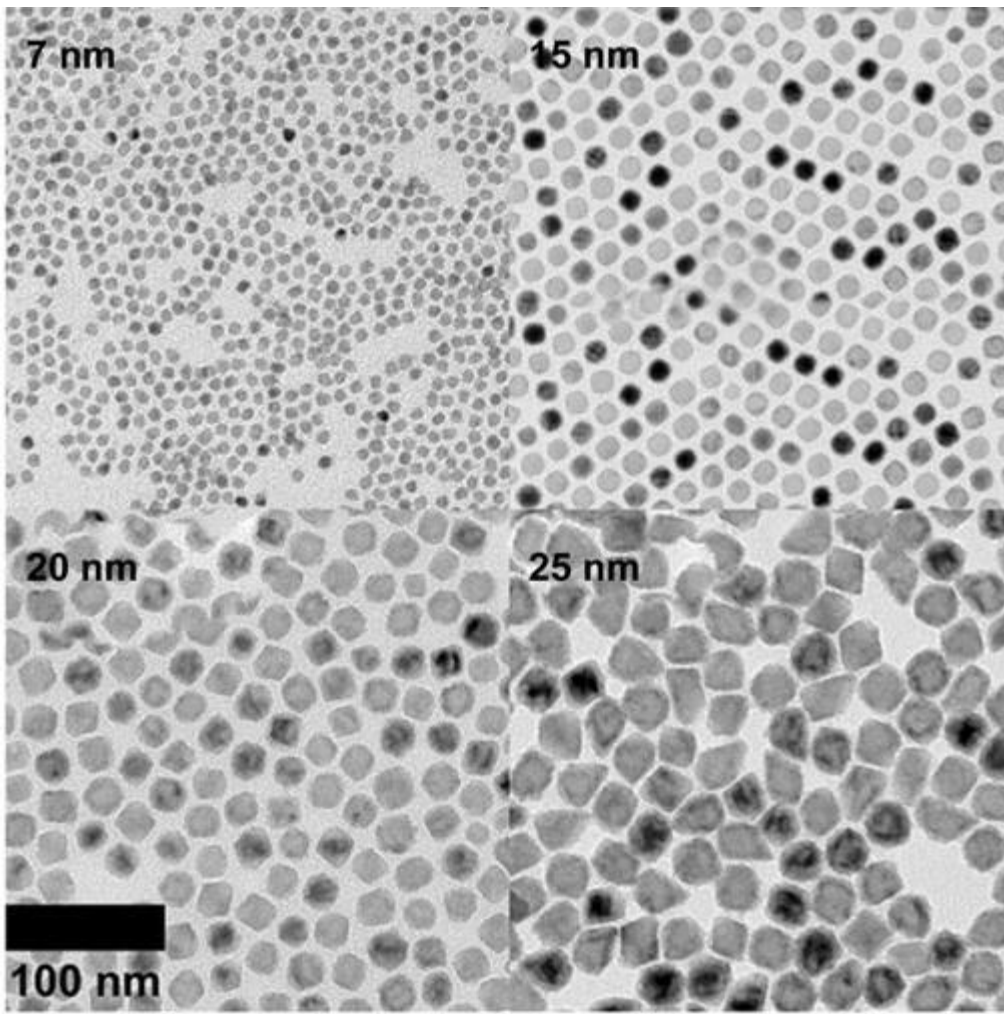
عامل های کتراست MRI بر پایه منگنز

- نانوذرات اکسید منگنز (Mn_3O_4 و MnO)
- روش سنتز: تجزیه حرارتی ترکیبات اولئات منگنز
- آب گریز بودن نانوذرات تولید شده به علت تشکیل لایه اسید اولئیک
- استفاده از فسفولیپیدها به منظور انتقال به فاز آبی

- افزایش مقدار r_1 با کاهش اندازه ذره بر خلاف USPIO (کاهش دوز تزریق)

جنس نانوذره	اندازه (nm)	$* r_1$	
MnO	25	0.12	Jung, 2006
MnO	20	0.13	Jung, 2006
MnO	15	0.18	Jung, 2006
MnO	7	0.37	Jung, 2006
MnO/Mn ₃ O ₄	5	1	Huang, 2010
MnO	2-3	7.02	Baek, 2010

$* \text{ mM}^{-1}\text{S}^{-1}$



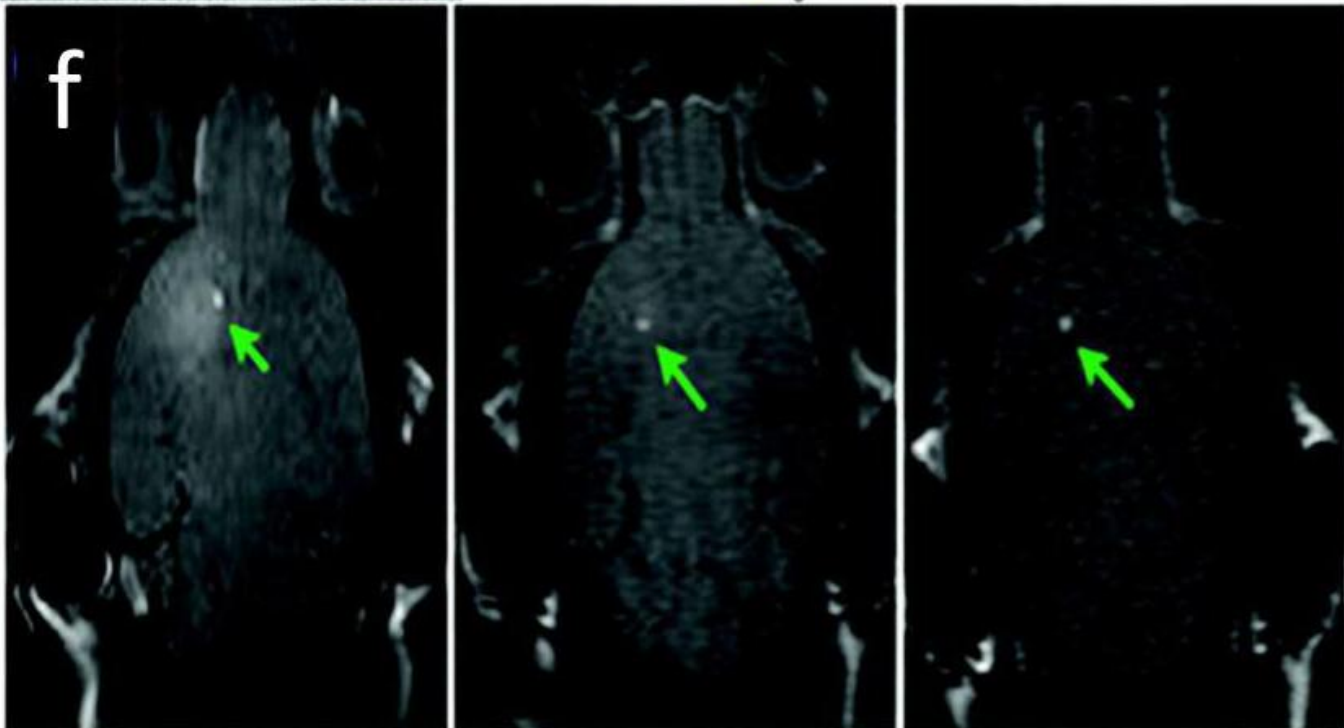
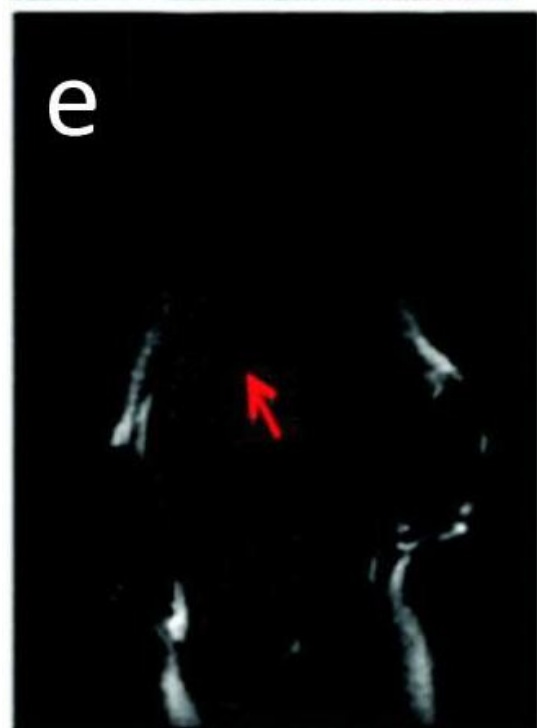
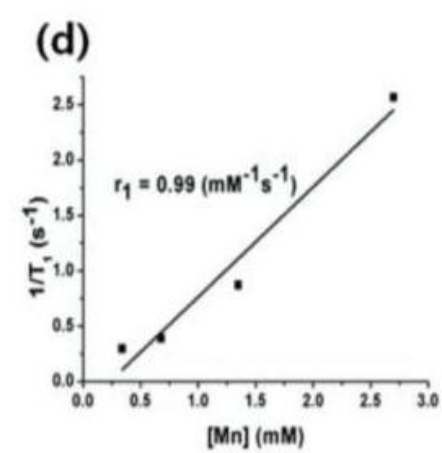
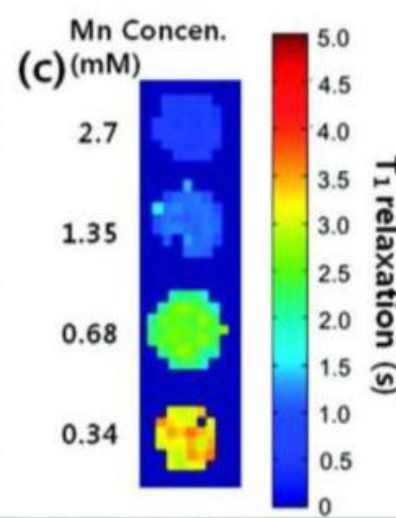
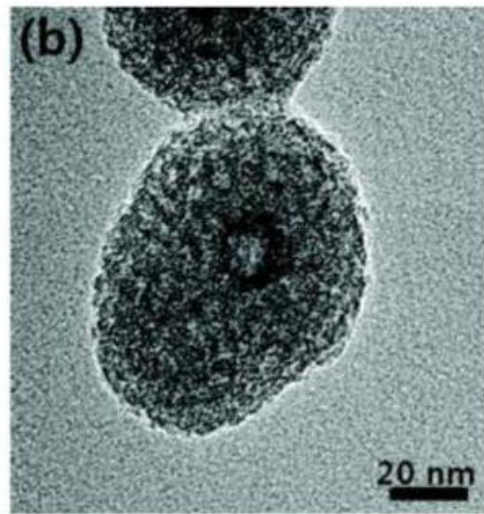
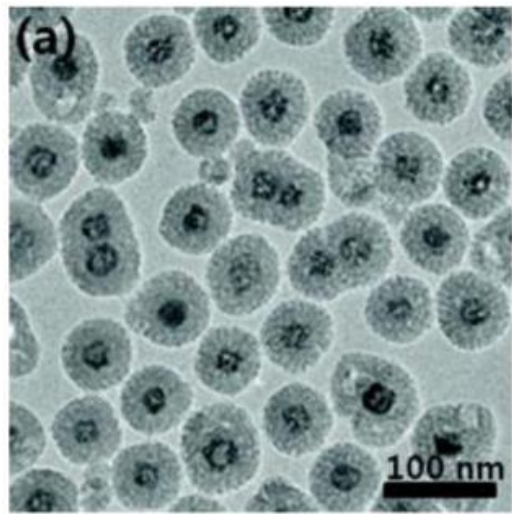
• نانوذرات اکسید منگنز تو خالی (HMON)

- حفره دار کردن ذرات MnO ۲۰ نانومتری با حرارت دادن در ۳۰۰ درجه سانتیگراد
- نگهداری در $\text{pH} = 4.6$ با phthalate buffer به مدت ۱۲ ساعت
- افزایش مقدار r_1 از ۰.۳۵۳ به ۱.۱۵ و $1.42 \text{ mM}^{-1}\text{S}^{-1}$
- افزایش جذب doxorubicin از ۵۸ به ۲۰۰ $\mu\text{g}/\text{mole particle}$

- نانوذرات اکسید منگنز با پوششها و افزودنی های غیر آلی
- استفاده از پوشش سیلیکا به دلیل زیست سازگاری مناسب و antibody loading و easy functionality loading

ساختار	MnO@SiO ₂	MnO@mSiO ₂	HMnO@mSiO ₂
r ₁	0.07	0.16	0.2-1.72

- استفاده از نانوذرات Si_{Mn} با پوشش دکستران، اندازه هسته 4.3±1.0 nm و اندازه هیدرودینامیکی 8.3 تا 43 nm با مقدار (Optical & MR Imaging) 1.4T در r₁ = 25.5 mM⁻¹s⁻¹.

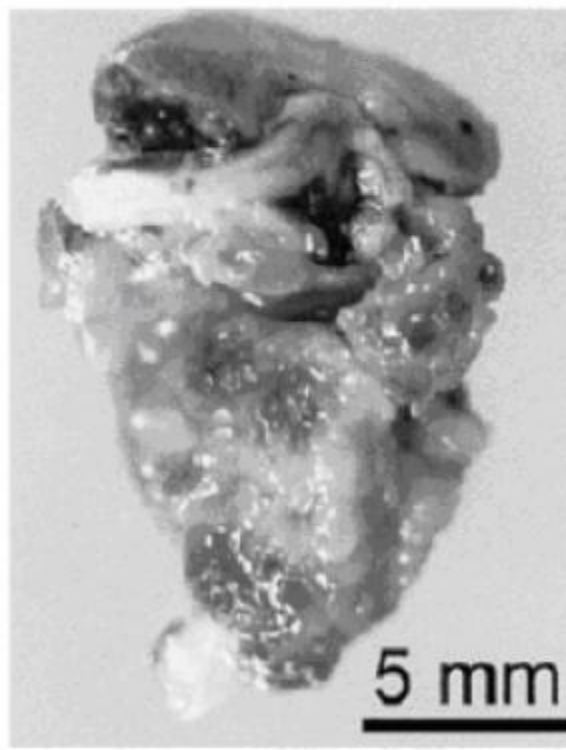
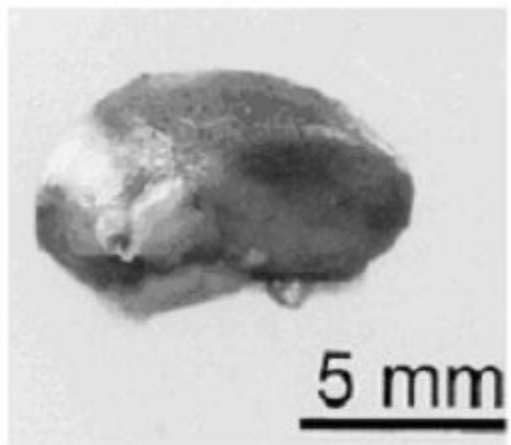


جنس نانوذره	(nm)	اندازه	r_1	
MnO	25		0.12	Jung, 2006
MnO	20		0.13	Jung, 2006
MnO	15		0.18	Jung, 2006
MnO	7		0.37	Jung, 2006
MnO/Mn ₃ O ₄	5		1	Huang, 2010
MnO	2-3		7.02	r_1 (mmol ⁻¹ × s ⁻¹)
Si _{Mn}	4.3		25.5	B ₀ (T)
Mn ₃ O ₄ nanoplate	10		2.06	0.2
Mn ₃ O ₄ nanosphere	9.8		1.31	1.5
HSA-MONP	20		1.97	3
DPSE-MONP	20		0.37	Chen, 2010
MnO	20		0.353	Park, 2008
HMnO	20		1.15	Park, 2008
HMnO	20		1.42	Shin, 2009
MnO@SiO ₂	15		0.07	Peng, 2011
MnO@mSiO ₂	15		0.16	Peng, 2011
HMnO@mSiO ₂	15		0.2-1.72	Peng, 2011

مزایا

- کتراست مثبت
- کاهش دوز تزریق
- r_1 بزرگ و قابل تنظیم
- افزایش قابلیت functionalize شدن (مانند Herceptin)
- کمتر بودن سمیت سلولی نسبت به گادولونیوم
- عدم Nephrogenic systemic fibrosis (NSF)
- تشخیص بهتر Pancreatic Lesions نسبت به گادولونیوم
- قابل کاربرد در تشخیص و بررسی بیماریهای نئوروژیک مانند پارکینسون و آلزایمر به دلیل قابلیت ورود به سلولهای تحریک شده از طریق voltage-gated calcium channels
- روش‌های سنتز

• هایپرترمیا



- استفاده از نانوذرات مغناطیسی مانند مگتیت برای افزایش دمای بافت سرطانی

- در میدان مغناطیسی خارجی (10 kA/m و 100 kHz)

استفاده از نانوذرات پروسکایتی مانند $\text{La}_{0.75}\text{Sr}_{0.25}\text{MnO}_3$

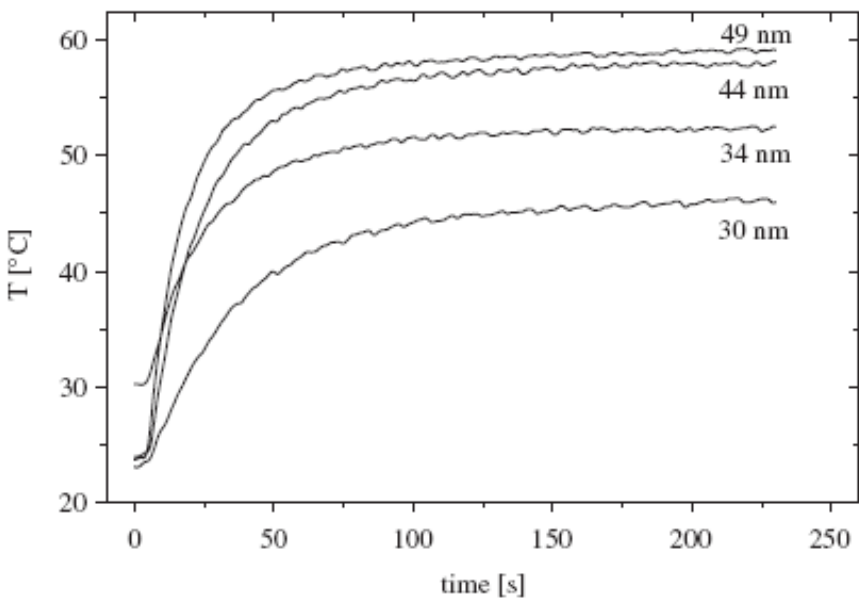
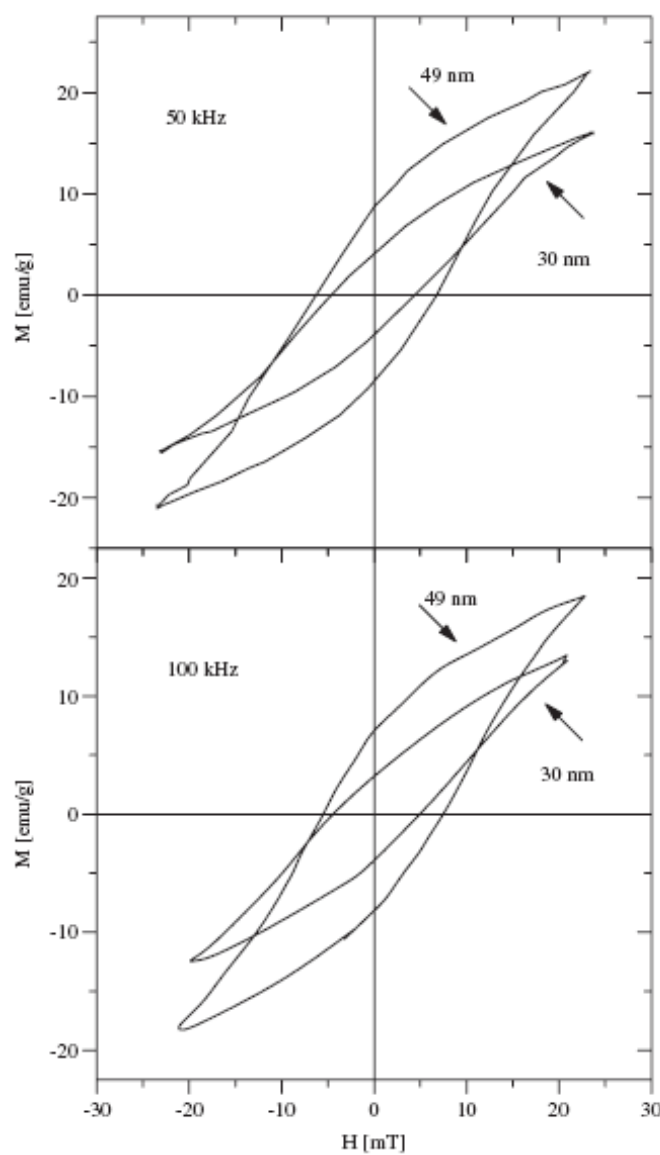
- و آلیاژهای نیکل و منگنز در هایپرترمیای خودکنترل

- استفاده از نانوذرات برای کاربردهای چندگانه شامل

- هایپرترمیا، دارورسانی، تصویربرداری مغناطیسی و

- تخرب سلول سرطانی با حرکت ارتعاشی یا رفت

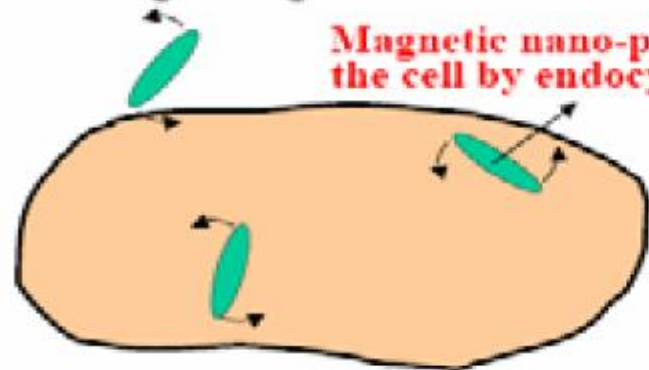
و برگشتی نانوذرات مغناطیسی



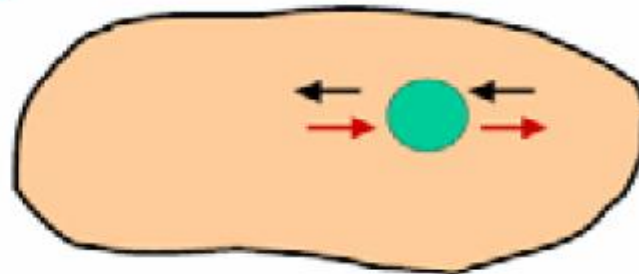


• تخریب سلول سرطانی

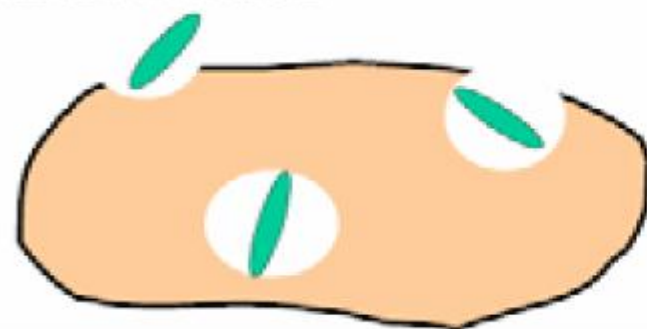
(a) Tumor cell with rotating elongated MNPs



(c) Tumor Cell with laterally oscillating MNPs



(b) Cell damage after MNPs rotation



(d) Cell damage after MNPs lateral oscillation

